

**Azərbaycan Respublikasının Prezidenti yanında Elmin İnkışafı Fondu  
və Belarus Respublika Fundamental Tədqiqatlar Fondunun  
qrantların verilməsi üzrə 2-ci Azərbaycan-Belarus birləşmələk  
müsabiqəsinin(EİF-BGM-3-BRFTF-2+/2017) qalibi olmuş  
layihənin yerinə yetirilməsi üzrə**

**YEKUN HESABAT**

Layihənin adı: Mikrodalğaları udan ferromaqnit dəmir oksidi nanohissəcikləri və çoxlaylı karbon nanoboruları əsasında komposit materiallar

Layihə rəhbərinin soyadı, adı və atasının adı: Məmmədov Hüseyn Mikayılov oğlu

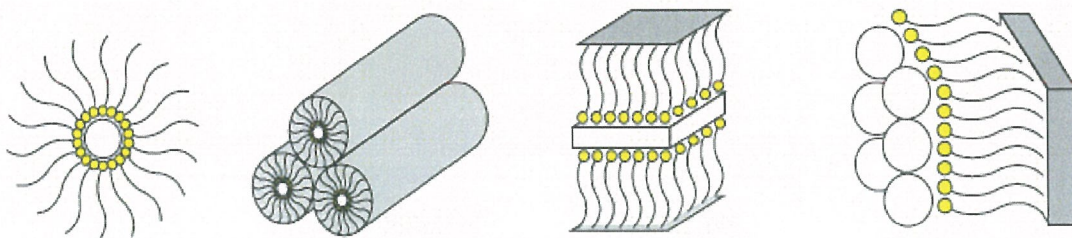
Qrantın məbləği: 65 000 manat

Layihənin nömrəsi: EİF-BGM-3-BRFTF-2+/2017-15/06/1-M-03

Müqavilənin imzalanma tarixi: 02 mart 2018-ci il

Qrant layihəsinin yerinə yetirilmə müddəti: 24 ay

Fe<sub>3</sub>O<sub>4</sub> hissəcikləri mikroelektronikada, müxtəlif xəstəliklərin müalicəsi zamanı dərman sistemlərinin daşınmasında, müxtəlif kimyəvi proseslərdə səmərəli katalizator kimi istifadə olunan nanokompozitlərin yaradılmasında, həmçinin elektromaqnit dalğalarını udan nanokompozit strukturların alınmasında geniş tətbiq olunur. Fe<sub>3</sub>O<sub>4</sub> nanohissəciklərinin sintezi zamanı onların su məhlularında çökdürülməsi zamanı əsas problem aqreqasiya prosesləri və daha sonra hissəciklərin kristalitlərinin artma prosesidir. Bu, xüsusən də hissəciyin nüvəsi ilə müqayisədə modifikasiya edilmiş səth qatının maqnit xarakteristikalarının tamamilə fərqli ola bildiyi maqnit nanohissəcikləri hallarında əhəmiyyətlidir və daxili atomların xarici atomlarla qarşılıqlı təsirləri nanohissəciklərin maqnit xassələrində ciddi dəyişikliklərə gətirib çıxara bilər. Tədqiqat zamanı xassələri sabit olan məhsul almaq üçün nanohissəcikləri onların əldə edilməsi prosesində stabillaşdırıcı səth aktiv maddələri (SAM) düzgün seçmək lazımdır. Məhlula düşdükdə, SAM molekülləri dissosiasiya edir və hissəciklərin səthində adsorbsiya edərək onların yapışmasına və sonrakı aqreqasiya prosesinə mane ola bilər. Məhlulda SAM-nı elə miqdarını seçmək lazımdır ki, bu zaman dəmir oksidin monodispers hissəcikləri alınsın. Nanoölçülü sistemlərin nano reaktor adlanan məhdud kolloid sistemlərində sintezi son zamanlar geniş yayılmış alınma usullarından biridir. Kolloid nano reaktorları kimi daha çox çəvrimiş misellərdən, maye kristallardan, adsorbsiya qatlarından, Lenqmür-Blodjet təbəqələrindən, mikro emulsiyalardan geniş istifadə olunur.



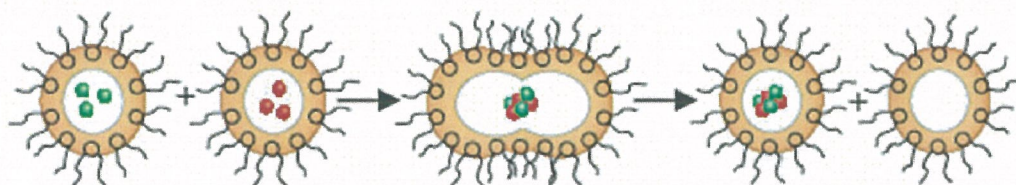
əks mitsellər

maye kristallar öz-özünə yiğilan təbəqələr Lenqmür-Blodjet təbəqəsi

**Şəkil 1. Kolloid nanoreaktorları**

Nano reaktorlarda hissəciklərin məhdudlaşdırılmasının əsas üstünlüyü digər metodlarla çətin

Nanohissəciklərin sintezi üçün adətən 2 mikroemulsiya istifadə olunur. Birinci mikroemulsyanın damcılarda metal duzunun məhlulu olur, digər mikroemulsiyada isə reduksiyaedicinin məhlulu. Daha sonra 2 mikroemulsiyalar bir-biri ilə qarışdırılır. Nanohissəciklərin sintezi zamanı mikroemulsiyaların damcılari "nanoreaktor" rolunu oynayır ki, daha sonra bu nanoreaktorlar istenilən maddənin birləşməsinin sintezi baş verir. Mikroemulsiyalar broun hərəkətində iştirak edir, bir-biri ilə toqquşur və mübadilə olunurlar. Nəticədə mikroemulsiya damcılarda nanohissəciklərin əmələ gəlməsi ilə müşayidə olunan kimyəvi reaksiya baş verir.



Nanohissəciklərin mikroemulsyalarda əmələ gəlməsi sxemi [2,3].

H Fe<sub>3</sub>O<sub>4</sub> dəmir oksid nanohissəciklərinin kolloid nanoreaktorlar rolunu oynayan səthi-aktivmaddələr və əks misellər iştirakında sintezi və stabillaşdırılması həyata keçirilmişdir.

### **Fe<sub>3</sub>O<sub>4</sub> dəmir oksid və ya magnetit nanohissəciklərinin sintezi və stabillaşdırılması.**

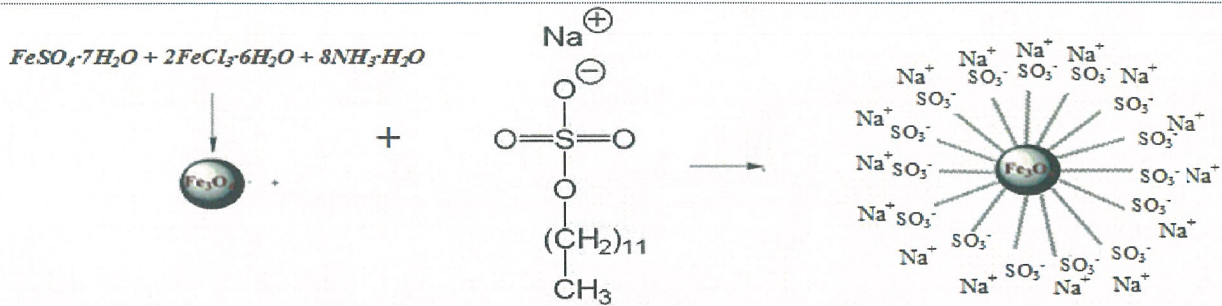
#### **Fe<sub>3</sub>O<sub>4</sub> dəmir oksid nanohissəciklərinin sintezi üçün istifadə olunan əsas materiallar:**

Dəmir (II) sulfat heptahidrat (FeSO<sub>4</sub>×7H<sub>2</sub>O, PLC, PCode 141362); dəmir (III)xlorid heksahidrat (FeCl<sub>3</sub>·6H<sub>2</sub>O, PLC, PCode 141868); ammonium hidroksid (25%, PLC); setiltrimetilammonium bromid (C<sub>19</sub>H<sub>42</sub>BrN, AB 117004, 98% kimyəvi təmiz) polietilenqlikal6000 (PEG-6000, HO(C<sub>2</sub>H<sub>4</sub>O)<sub>n</sub>H, PCode 163325 PLC); natrium oleat (NaC<sub>18</sub>H<sub>33</sub>O<sub>2</sub>, Pcode 113655), natrium dodesulfat (C<sub>12</sub>H<sub>25</sub>NaO<sub>4</sub>S, PCode 142363).

#### **Setiltrimetil-ammonium bromid (STABr) səthi-aktiv maddə iştirakında Fe<sub>3</sub>O<sub>4</sub> nanohissəciklərinin sintezi və stabillaşdırılması.**

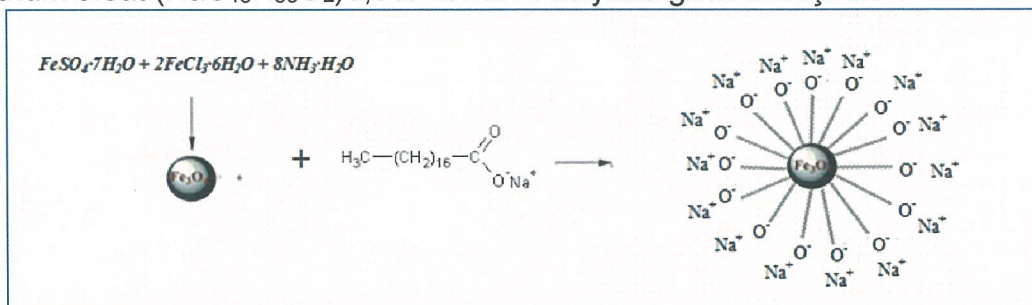
Fe<sub>3</sub>O<sub>4</sub> maqnit nanohissəcikləri Fe<sup>3+</sup> və Fe<sup>2+</sup> ionlarının birgə 3:2 molyar nisbətində ammonium məhlulu (NH<sub>4</sub>OH) ilə birgə kimyəvi çökdürülməsi nəticəsində sintez edilmişdir. FeSO<sub>4</sub>×7H<sub>2</sub>O və FeCl<sub>3</sub>×6H<sub>2</sub>O duzları (molyar nisbet Fe<sup>3+</sup>:Fe<sup>2+</sup>=3:2) 100 ml distillə suyunda həll edilir. Ayrıca olaraq 0,5%-li səthi-aktiv maddə olan setiltrimetilammonium bromid məhlulu hazırlanır. 250 ml ölçü stekanına 50 ml FeCl<sub>3</sub>×6H<sub>2</sub>O, 50 ml FeSO<sub>4</sub>×7H<sub>2</sub>O məhlulu və 20 ml setiltrimetil-ammonium bromid məhlulu əlavə edilir, qarışq intensiv şəkildə maqnit qarışdırıcıda 80°C temperaturda qarışdırılır. Daha sonra 100 ml 25% ammonium məhlulu sürətlə iki və üç valentlidəmir duzlarının məhluluna əlavə edilir və reaksiya məhlulu pH=11-ə qədər çatdırılır. Məhlul dərhal qara rəng alır ki, bu da Fe<sub>3</sub>O<sub>4</sub>-ün əmələ gəlməsini göstərir. Qarışq daha 1 saat ərzində intensiv şəkildə qarışdırılır. Yaranan qara çöküntü dekantasiya metodu ilə ayrılır və üzəri distillə edilmiş su ilə təkrarən bir neçə dəfə yuyulur. Fe<sub>3</sub>O<sub>4</sub> nanohissəciklərini reaksiyaya daxil olmayan FeCl<sub>2</sub> və FeCl<sub>3</sub> duzlarından tamamilə təmizləmək məqsədi ilə senritifua vasitəsi ilə nanohissəciklər əsas kütlədən ayrıılır, sonra isə təkrarən bir neçə dəfə distillə suyu vasitəsi ilə yuyulur. Hissəciklər daha sonra ultrasəs dalğaları vasitəsi ilə 10 dəq ərzində işlənir, daha sonra Petri qabına töküür və 24 saat ərzində qurudulur.

Fe<sub>3</sub>O<sub>4</sub> hissəciklərinin çökdürülməsi həmçinin əks qaydada da aparılmışdır. Tərkibində setiltrimetil-ammonium bromid səthi aktiv maddə olan Fe<sup>3+</sup> və Fe<sup>2+</sup> duzları (3:2 molyar nisbəti) ilə yüksək sürətlə 25%-li ammonium məhluluna əlavə edilir. Çökdürülmənin qalan şərtləri analoji olaraq saxlanır. Fe<sub>3</sub>O<sub>4</sub> nanohissəciklərinin əmələ gəlmə reaksiyası və STABr iştirakında stabillaşdırılmasını aşağıdakı kimi göstərmək olar:



Şekil 6.  $Fe_3O_4$  nanohissəciklərinin dodesil sulfat ( $C_{12}H_{25}NaO_4S$ ) iştirakında sintezi və stabillaşdırılması.

$Fe_3O_4$  nanohissəciklərinin sintezi analogi olaraq aparılmışdır. Stabilleşdirici kimi istifadə olunan natrium oleat ( $NaC_{18}H_{33}O_2$ ) 0,5% konsentrasiyada götürülmüşdür.



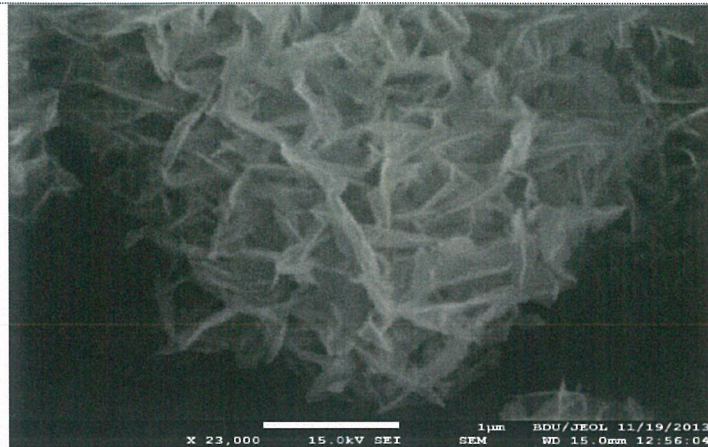
Şekil 7.  $Fe_3O_4$  maqnit nanohissəciklərinin natrium oleat iştirakında stabillaşməsinin sxematik təsviri.

### $Fe_3O_4$ maqnit nanohissəciklərinin rentgen struktur analizi.

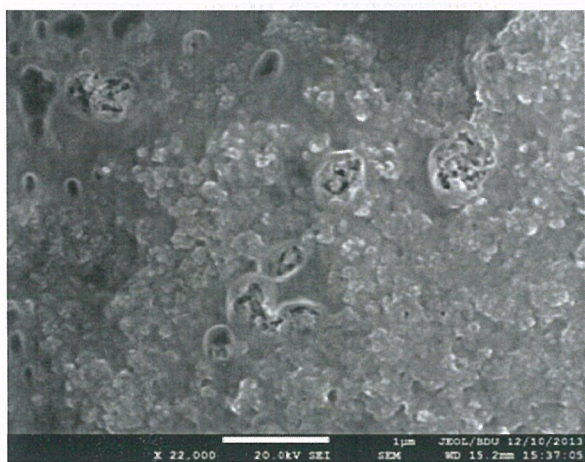
Məlumdur ki, kimyəvi çökdürmə üsulu ilə alınma zamanı reaksiyanının aparılma şəratından asılı olaraq dəmirin digər oksidləri ( $\alpha$ - $Fe_2O_3$ ,  $\gamma$ - $Fe_2O_3$ ,  $\alpha$ ,  $\beta$ ,  $\gamma$ - $FeOOH$ ) əmələ gələ bilər. Dəmirin bu oksidlərinin maqnit xassələri olmadığından və ya az maqnit xassəyə malik olduğundan bizim halda onların istifadəsi perspektivsiz hesab olunur.  $Fe_3O_4$  maqnit nanohissəciklərinin nanometr ölçülərində birdomenli olduğundan və superparamaqnit xassə göstərdiyindən elektromaqnit dalağalarının udulması üçün maqnit nanokompozit strukturların alınmasında məhz  $Fe_3O_4$  istifadəsi zəruridir. Məhz ona görə də sintez edilmiş maqnetit nanohissəciklərinin rentgen quruluş (XRD) analizi aparılmışdır. Maqnit nanohissəciklərin rentgen difraktoqramları Rigaku Mini Flex 600 difraktometrində otaq temperaturunda ölçülmüşdür. Maqnit nanohissəciklərin XRD analizi göstərir ki, əsas piklər  $30.36^\circ$  (220),  $35.68^\circ$  (311),  $43.3^\circ$  (400),  $57.36^\circ$  (511), and  $62.95^\circ$  (440) məhz  $Fe_3O_4$  nanokristalına aiddir. Difraksiya piklərinin  $Fe_3O_4$ -ə aid olduğu kart bazasından aydın görünür. Kristallitlərin ölçüləri Debay-Şerer formuluna uyğun olaraq ən maksimal intensivliyə malik olan pikə uyğun olaraq hesablanmışdır [4-15]. Sintez olunan nanohissəciklərin məhz spinel quruluşlu  $Fe_3O_4$  olduğunu XRD difraktoqrlardan aydın görünür.

Cədvəl 1.  $Fe_3O_4$  maqnetit nanohissəciklərinin XRD parametrləri.

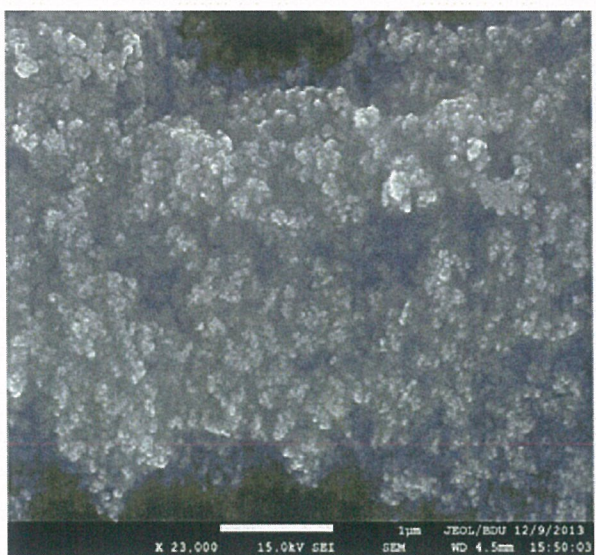
Nö	$2\theta$	D(bucaq)	Fazanın adı	Kimyəvi formula
1	30.6061	2.91863	Maqnetit, syn(2,2,0)	$Fe_3O_4$
2	35.79(6)	2.507(4)	Maqnetit,syn(3,1,1)	$Fe_3O_4$
3	43.7374	2.06802	Maqnetit, syn(4,0,0)	$Fe_3O_4$
4	57.5758	1.59956	Maqnetit, syn(5,1,1)	$Fe_3O_4$
5	63.1313	1.47151	Maqnetit, syn(4,4,0)	$Fe_3O_4$



Şekil 9. STABr-SAM-la örtülmüş  $\text{Fe}_3\text{O}_4$  nanohissəciklərinin SEM analizi



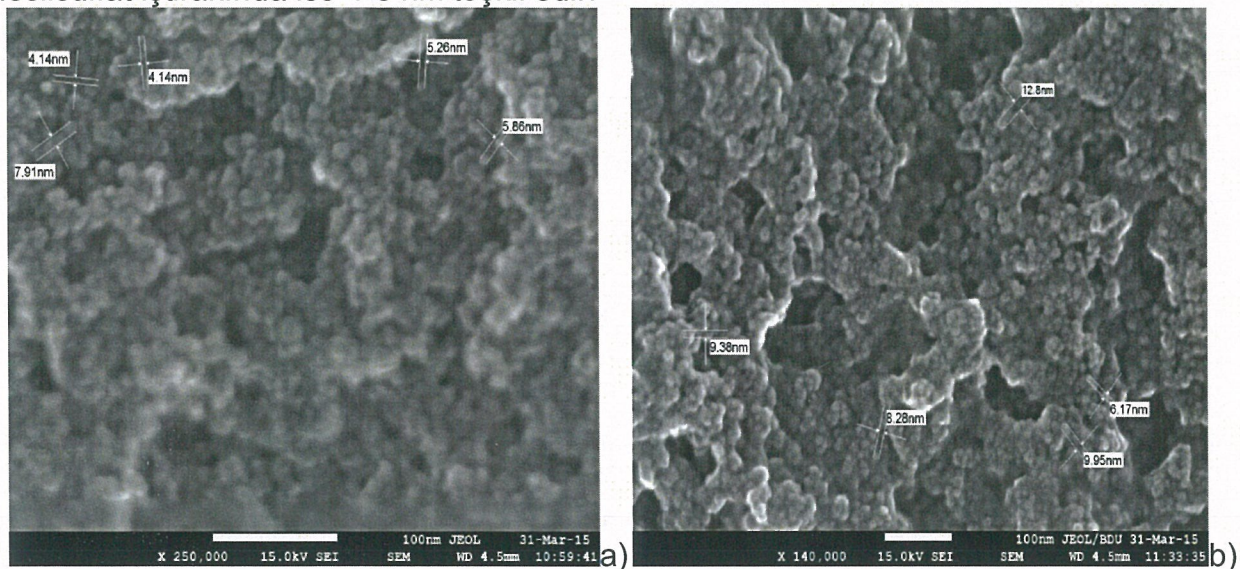
Şekil 10. STABr iştirakında stabillaşdırılan  $\text{Fe}_3\text{O}_4$  nanohissəciklərinin SEM təsviri  
(ammonium məhlulunun sürətlə dəmir duzlarına əlavə edilməsi).  
a) SEM rejimi b) COMPO rejimi



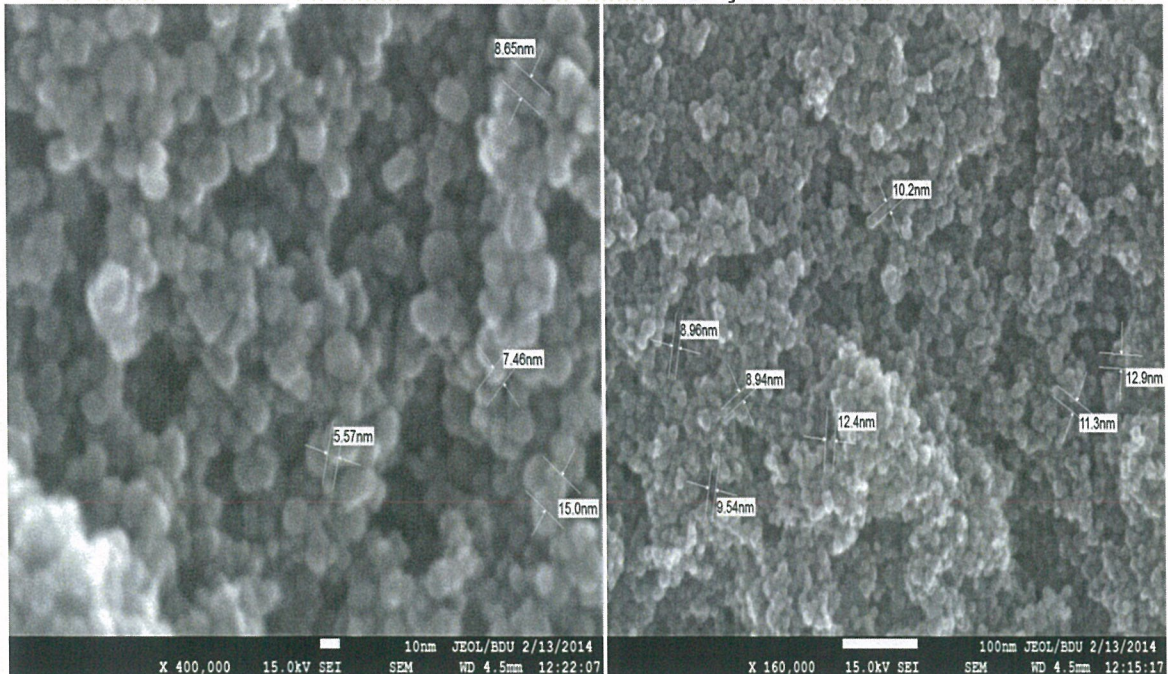
Şekil 11. STABr iştirakında stabillaşdırılan  $\text{Fe}_3\text{O}_4$  nanohissəciklərinin SEM təsviri  
(dəmir duzlarının ammonium məhluluna əlavə edilməsi a) SEM rejimi b) COMPO rejimi

Analoji neticeler PEG iştirakında sintez ve stabilleşmiş nanohissəciklərdə müşahidə olunmuşdur. Şəkil 14-də PEG iştirakında alınmış  $\text{Fe}_3\text{O}_4$  nanohissəciklərinin SEM təsviri verilmişdir. Şəkildən göründüyü kimi 2-ci halda daha monodispers hissəciklər formalaşır [4-15]. Müəyyən edilmişdir ki, dəmir duzlarının ammonium məhluluna sürətlə əlavə edilməsi bir qədər aqlomerasiya və koaqlıyasiya edilmiş  $\text{Fe}_3\text{O}_4$  nanohissəciklərin əmələ gəlməsinə gətirib çıxarır. Təyin edilmişdir ki, PEG iştirakında iştirakında sintez edilmiş nanohissəciklərin orta ölçüləri 5-8 nm təşkil edir.

Şəkil 15 (a,b)-də natrium dodesilsulfat (a) və natrium oleat (b) iştirakında sintez edilmiş  $\text{Fe}_3\text{O}_4$  nanohissəciklərinin SEM şəkli verilmişdir. Müəyyən edilmişdir ki, natrium oleat iştirakında sintez edilmiş  $\text{Fe}_3\text{O}_4$  nanohissəciklərinin SEM analizlərə əsasən 5-13 nm, natrium dodesilsulfat iştirakında isə 4-8 nm təşkil edir.



Şəkil 15. Natrium dodesilsulfat (a) və natrium oleat (b) iştirakında sintez edilmiş  $\text{Fe}_3\text{O}_4$  nanohissəciklərinin SEM şəkli.



Şəkil 16. Əks misellərdə stabilleşdirilən  $\text{Fe}_3\text{O}_4$  nanohissəciklərinin SEM təsviri  
Şəkil 16-da əks misellərdə sintez edilmiş nanohissəciklərin SEM təsvirləri verilmişdir.

Sintez zamanı səthi aktiv maddənin növünü, miqdarını, çökdürcü agentin növünü dəyişməklə  $\text{Fe}_3\text{O}_4$  nanohissəciklərin ölçülərinə nəzarət aşağıdakı cədvəl 2, 3 və 4-də ümumiləşdirilmişdir.

Cədvəl 2.  $\text{Fe}_3\text{O}_4$  maqnit nanohissəciklərinin alınmasında səthi aktiv maddənin təbiətinin təsiri.

Səthi-aktiv maddə	$D_{XRD}$ (nm)	$D_{SEM}$	$D_{AQW}$	Maddənin rəngi
STABr	2.24	6-15	10-13	Tünd qara
PEG-6000	3.28	5-8	10	Tünd qara
Natrium oleat	0.7	5-13	15	Qara-qəhvəyi
Natrium dodesilsulfat	7.8	4-8	5-10	Qara-qəhvəyi

Cədvəl 3. PEG-6000 səthi-aktiv maddənin miqdarının  $\text{Fe}_3\text{O}_4$  maqnit nanohissəciklərinin ölçülərinə təsiri.

PEG-6000 miqdari	Orta diametri (nm)	Ölçülərə görə paylanması	Maddənin rəngi
0.5	5	5-8	Qara
1	20	5-100	Qara
1.5	12	5-60	qara
2	30	20-70	Qara-qəhvəyi
2.5	35	30-90	Qara-qəhvəyi

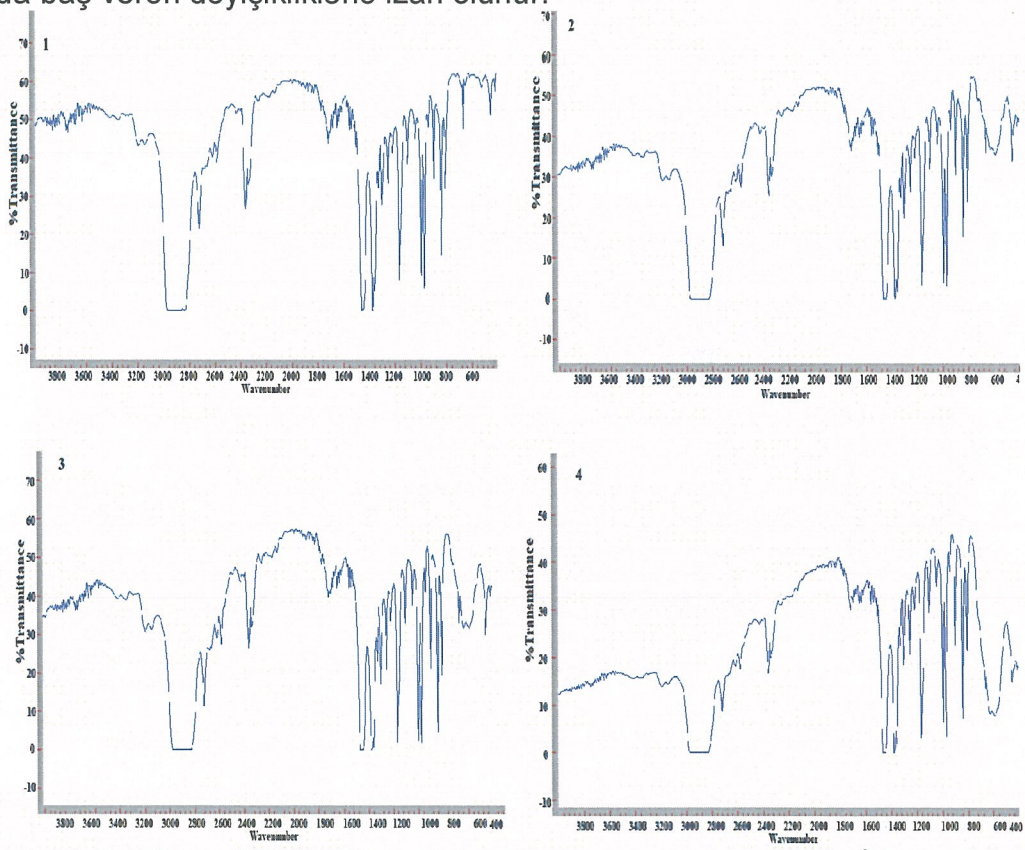
Cədvəl 4. Çökdürcü agentin təbiətinin maqnit nanohissəciklərinin ölçülərinə təsiri

Qələvi	Əsaslıq	Hissəciklərin orta ölçüləri (nm)	Maddənin rəngi
NaOH	güclü əsas	20	tünd qara
$\text{NH}_4\text{OH}$	zəif əsas	5	tünd qara

Beləliklə, müəyyən olunmuşdur ki, tədqiqat zamanı xassələri sabit olan məhsul almaq üçün nanohissəcikləri onların əldə edilməsi prosesində stabillaşdırması zəruridir. Aqlomeriyasiyanı zəiflətmək və hissəciklərin ölçülərinə nəzarət etmək üçün çökdürlülmə reaksiyasının baş verdiyi optimal parametrləri – temperaturu, pH göstəricisini, məhlulun qarışdırma sürətini, stabillaşdırıcı səthi aktiv maddələri (SAM) düzgün seçmək lazımdır. Təyin edilmişdir ki, dəmir oksid nanohissəciklərinin sintezi zamanı istifadə olunan SAM-in təbiətini, konsentrasiyasını, çökdürcü agentin təbiətini və miqdarını, ilkin prekursorların konsentrasiyasını, reaksiya mühitinin pH və temperaturunu idarə etməklə yüksək təmizlik dərəcəsinə malik, ölçülərinə görə bircins və monodispers dəmir oksid ( $\text{Fe}_3\text{O}_4$ ) nanohissəciklərini sintez və stabillaşdırmaq olar.

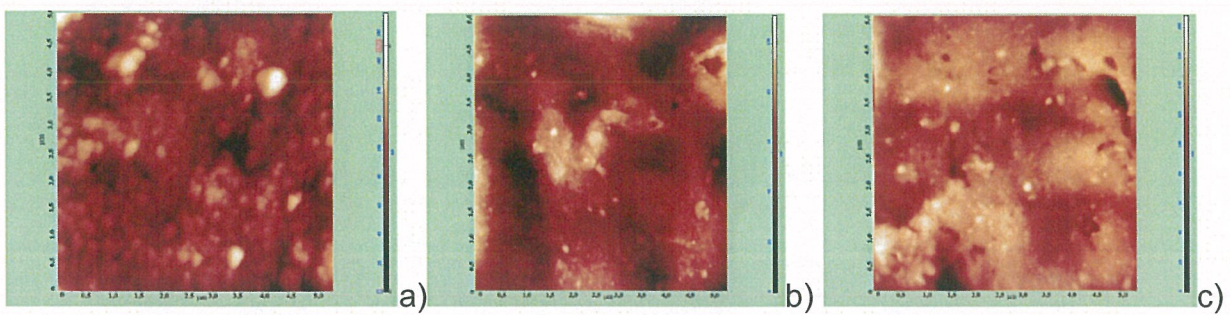
Son zamanlar elektromaqnit dalğalarını udan metal və oksidlər əsasında nanokompozisiya materillarının tədqiqi xüsusi maraq kəsb edir. Ədəbiyyat analizləri göstərir ki, elektromaqnit dalğalarını udan kompozisiya materiallarının yaradılması texnologiyası daim aktual məsələlərdən biri hesab olunur. Lakin maqnit polimer nanokompozisiya materiallarının xassələrinin dəyişməsi nanokompozisiyalara təşkil edən ayrı ayrı komponentlərinin xassələrindən, polimer matrisin üst molekulyar quruluşundan, nanohissəciklərinin ölçülərindən, fazalarası qarşılıqlı təsir dərəcəsindən, fazalararası sərhəd təbəqələrin qalılığından və nanokompozisiyaların alınma texnologiyasının şəraitindən asılıdır [18-37]. Ədəbiyyat icmalının analizi göstərir ki, bu sahədə eksperimental nəticələr azlığı bu materialların alınmasını və tədqiqini zəruri edir. Məhz buna görə də nanokompozit materialların alınması və strukturunun tədqiqi polimer maqnit nanokompozitlərində elektromaqnit dalğalarının udulma mexanizmini daha aydın başa düşülməsində geniş

C zəncirinin valent,  $1044 \text{ cm}^{-1}$  C-CH<sub>3</sub> rabitəsinin valent,  $841 \text{ cm}^{-1}$  CH<sub>3</sub> qrupunun struktur,  $526 \text{ cm}^{-1}$  -C-C zəncirinin deformasiya rəqslerinə uyğundur. Təmiz polipropilenin spektrindən fərqli olaraq Fe<sub>3</sub>O<sub>4</sub>-ün əlavə olunması ilə daha qısa dalğa ədədində uyğun oblastda yeni piklər yaranır ki, bu da Fe-O rabitəsinin qəfəs rəqslerinə uyğun udulma zolaqlarıdır. Fe<sub>3</sub>O<sub>4</sub>-ün 3% miqdarında uzaq infraqırmızı oblastda müşahidə olunan  $584 \text{ cm}^{-1}$ -ə uyğun udulma xətti konsentrasiyanın artması ilə sürüşərək doldurucunun 5% və 10% miqdalarında daha kəskin udulma xətti olan  $591 \text{ cm}^{-1}$ -ə çatır. İQ tədqiqatlar göstərir ki, nanoölçülü doldurucuların polimer matrisə daxil edilməsi və miqdarının artması ilə udulma zolağının intensivliyi azalır, bu da nanohissəciklərin əlavə olunması ilə polimerin kimyəvi quruluşunda deyil, fiziki quruluşunda baş verən dəyişikliklərlə izah olunur.

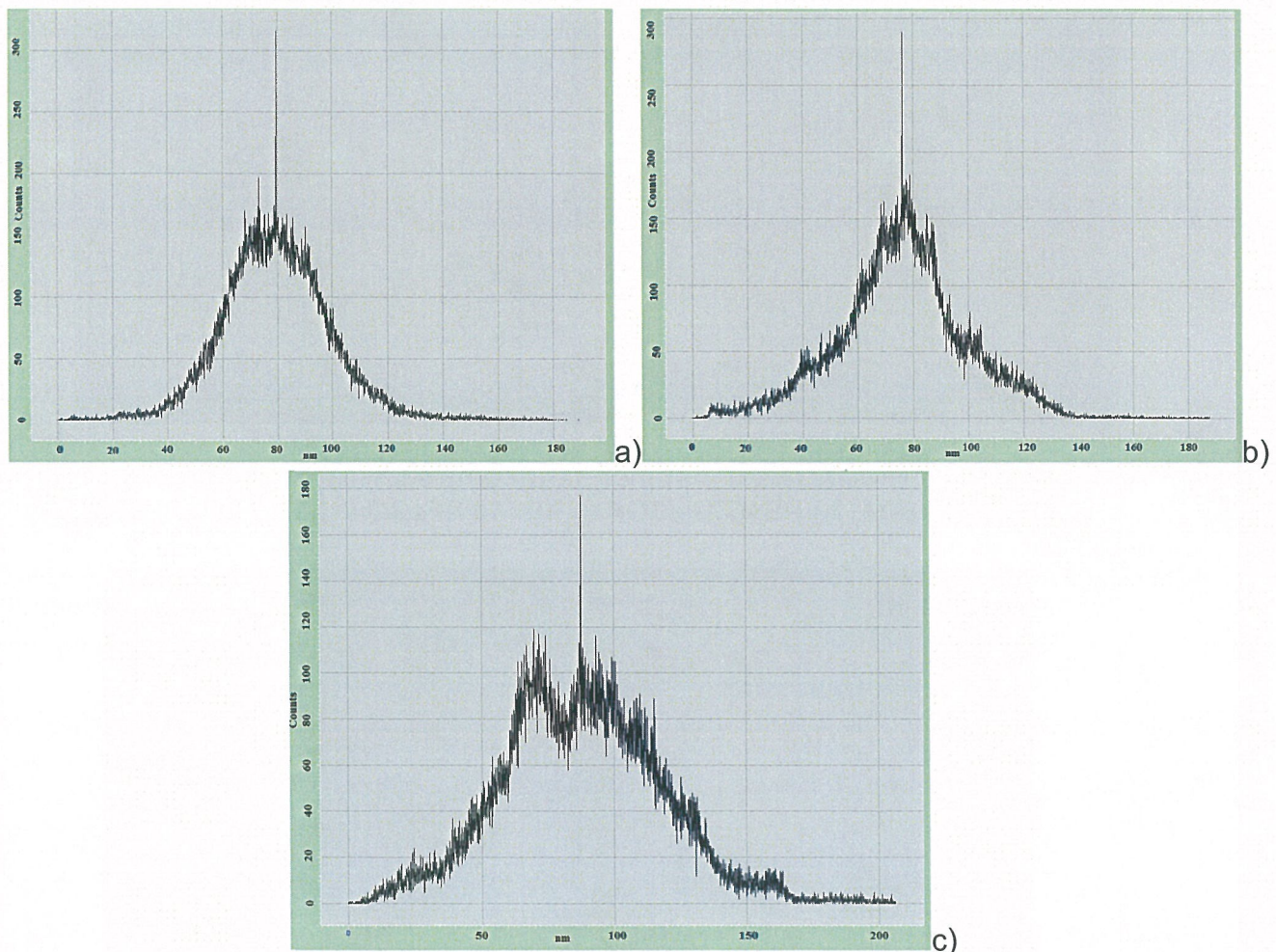


Şəkil 20. PP və PP+Fe<sub>3</sub>O<sub>4</sub> əsaslı polimer nanokompozitlərin İQ spektrləri

Şəkil 21-də PP+Fe<sub>3</sub>O<sub>4</sub> əsaslı polimer nanokompozitlərin SEM təsvirləri verilmişdir. Müəyyən edilmişdir ki, nanohissəciklərin polimer matrisdə nanohissəciklərin paylaşımı bircins və monodispersdir. Maqnetit nanohissəciklərinin 5% miqdarda PP-də paylanması zamanı nanohissəciklərin ölçüləri 13-14 nm, 10% miqdarda isə 16-17 nm təşkil edir. Şəkil 22-də PP+Fe<sub>3</sub>O<sub>4</sub> əsaslı polimer nanokompozitin EDS spektri verilmişdir və müəyyən olunmuşdur ki, nanokompozit təmiz Fe<sub>3</sub>O<sub>4</sub> nanohissəciklərindən ibarətdir.



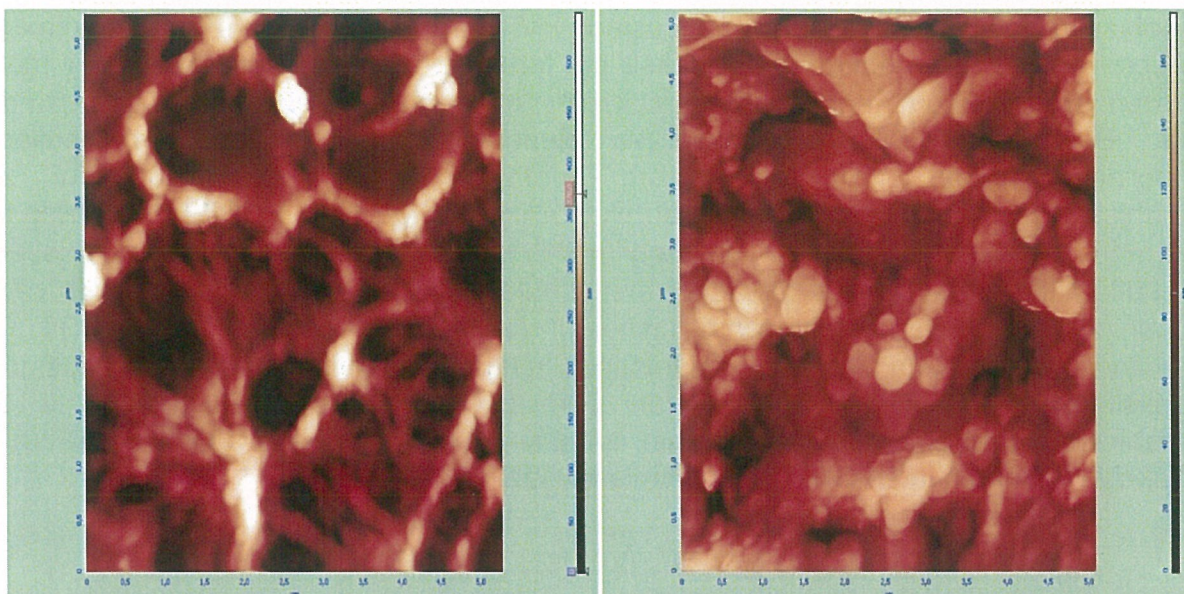
Şəkil 24. PP+ $\text{Fe}_3\text{O}_4$  əsaslı polimer nanokompozitin AQM təsvirləri:  
a) PP+10% $\text{Fe}_3\text{O}_4$ ; b) PP+20% $\text{Fe}_3\text{O}_4$ ; c) PP+40% $\text{Fe}_3\text{O}_4$ .



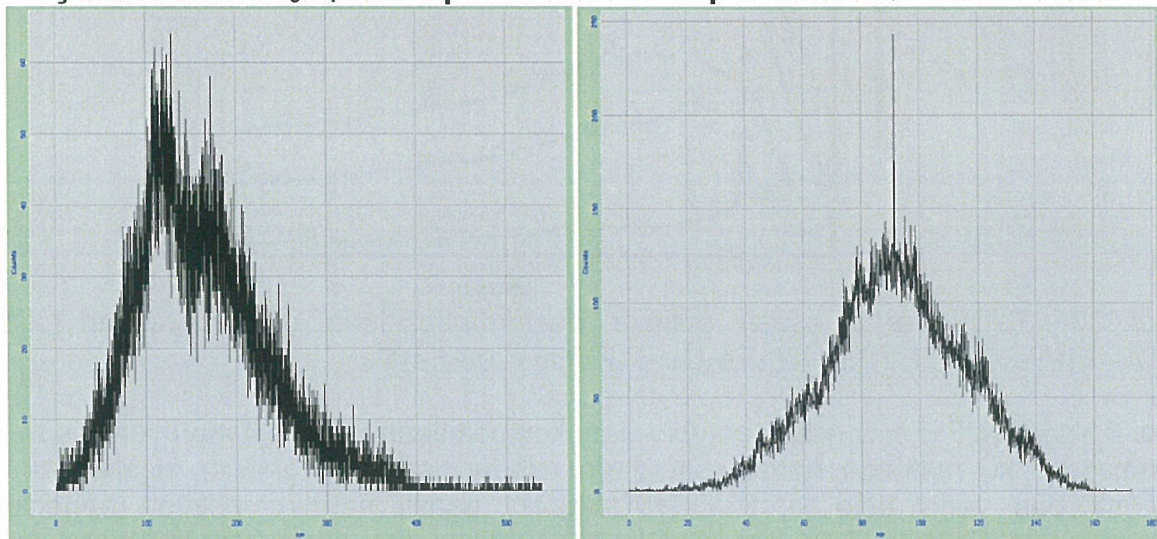
Şəkil 25. PP+ $\text{Fe}_3\text{O}_4$  əsaslı polimer nanokompozitin səthinin orta-kvadratik kələ-kötürlüyünün histoqramları: a) PP+10% $\text{Fe}_3\text{O}_4$ ; b) PP+20% $\text{Fe}_3\text{O}_4$ ; c) PP+40% $\text{Fe}_3\text{O}_4$ .

Şəkil 26-da maqnetit nanohissəciklərinin 5% və 10% miqdarlarında olan PE+ $\text{Fe}_3\text{O}_4$  əsaslı polimer nanokompozitlərin SEM təsvirləri verilmişdir. Şəkildən göründüyü kimi, polimer matrisaya nanohissəciklərin daxil edilməsi və maqnetit nanohissəciklərinin konsentrasiyası artdıqca polimer matrisdə nanohissəciklərin ölçüləri cüzi artır. Belə ki, polietilen matrisində maqnetitin 3% və 5% miqdarında hissəcikləri orta ölçüləri 8-14 nm, 10% və 40% kütə miqdarında isə 11-14 nm təşkil edir. Şəkil 27-da PE+ $\text{Fe}_3\text{O}_4$  enerji dispersiya spektri göstərilmişdir və müəyyən olunmuşdur ki, nanokompozit təmiz  $\text{Fe}_3\text{O}_4$  nanohissəciklərindən ibarətdir.

formalaşdırır.



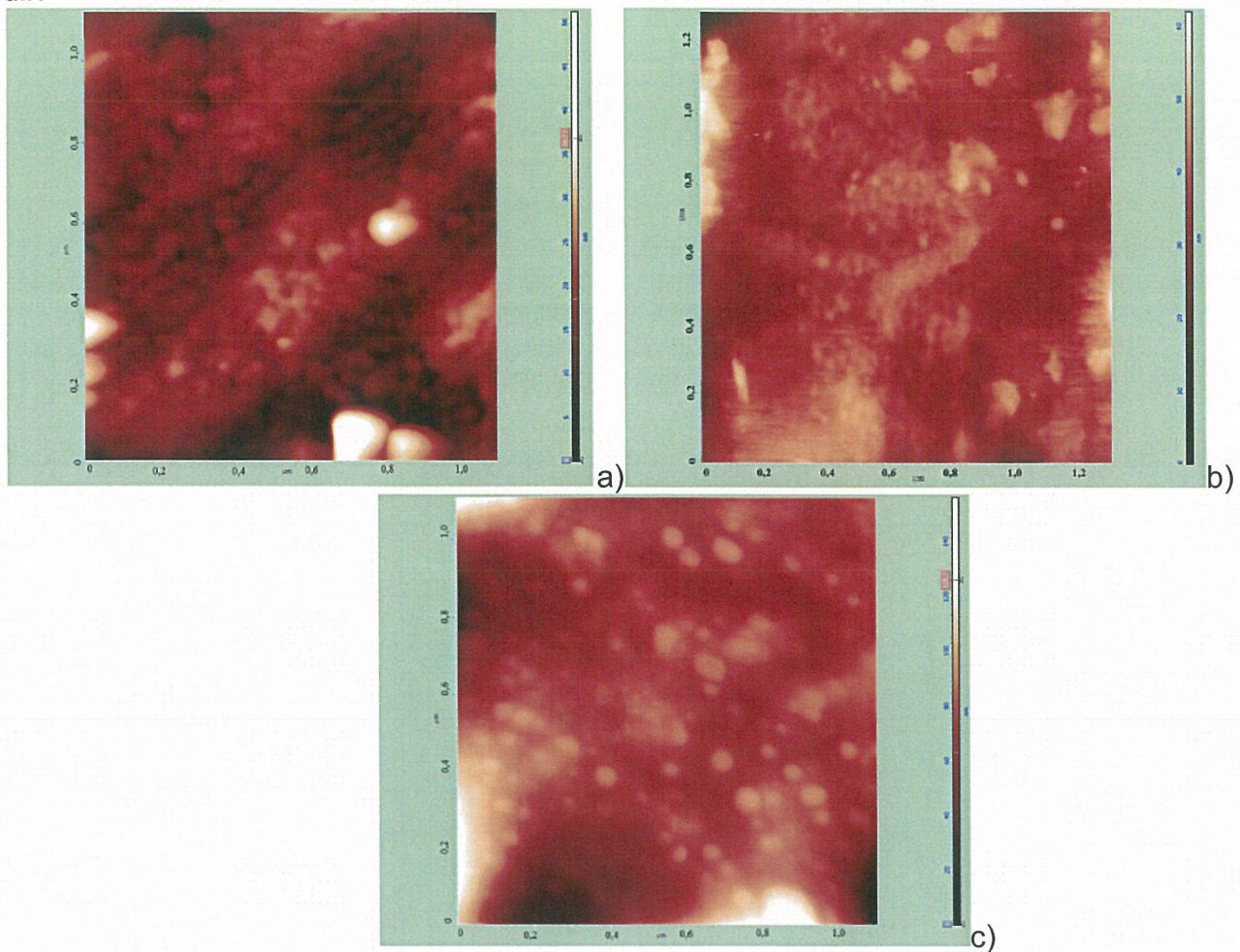
Şekil 28. PE+ $\text{Fe}_3\text{O}_4$  əsaslı polimer nanokompozitinin AQM 2D təsvirləri.



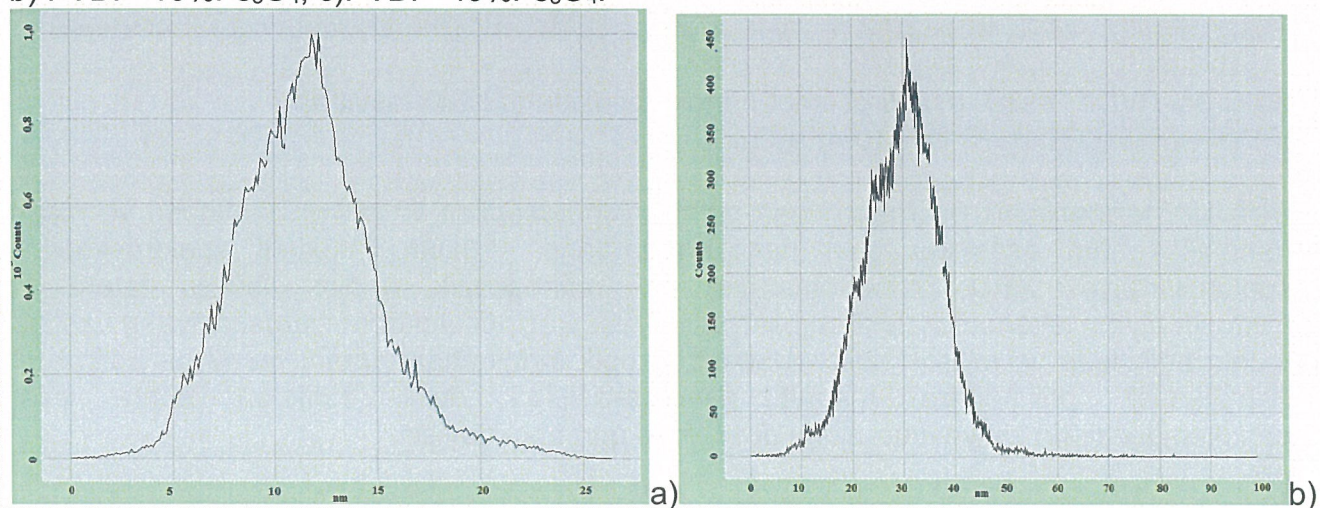
Şekil 29. PE+ $\text{Fe}_3\text{O}_4$  əsaslı polimer nanokompozitinin səthinin orta kvadratik kələkötürlüyüünün histoqramı.

Şəkil 30-da təmiz PVDF-in və  $\text{Fe}_3\text{O}_4$  nanohissəciklərinin və onlar əsasında alınmış nanokompozitlərin birgə müqayisəli difraktoqrammaları verilmişdir. Təmiz PVDF təbəqəsinin dikraktoqrammasında  $2\theta$  bucağının  $18,83^\circ$  və  $20,41^\circ$  qiymətində iki intensiv pik müşahidə olunur. Bu piklər ədəbiyyatdan məlum  $2\theta=18,4$  və  $2\theta=20,8$  qiymətlərində müvafiq olaraq Müller indekslərinin 020 və 110 qiymətlərinə uyğun gələn PVDF-in  $\alpha$  və  $\beta$  fazalarına aid xarakteristik difraksiya pikləridir. Bundan əlavə, PVDF-in difraktogrammasında  $2\theta$  bucağının  $35,43^\circ$  dərəcə qiymətində bir pik daha müşahidə olunur ki, bu pikin də ədəbiyyatdan  $2\theta$  bucağının  $35,7^\circ$  qiymətinə uyğun və 200 indeksi ilə ifadə olunan  $\alpha$  fazanın xarakteristik difraksiya piki olduğu məlumdur. PVDF üçün  $41,19^\circ$  bir enli dikrafkisiya xətti daha müşahidə olunmuşdur. Bunun da  $\alpha$  fazanın 002 xəttinə uyğun  $39^\circ$  bucaq altında müşahidə olunan xarakteristik xətti olduğu düşünülür. Göründüyü kimi baxılan halda təmiz PVDF matris kombinasiyalı şəkildə həm  $\alpha$ , həm də  $\beta$  fazadan ibarətdir. Lakin  $\beta$  fazanın payı daha böyükdür. PVDF+ $\text{Fe}_3\text{O}_4$  əsaslı nanokompozit nümunələrinin difraktoqrammasında  $\text{Fe}_3\text{O}_4$  nanohissəciklərinin polimerdəki bütün konsentrasiyaları üçün  $\text{Fe}_3\text{O}_4$ -ün xarakteristik pikləri müşahidə olunmaqdadır. Belə ki,  $2\theta$  bucağının  $30,2^\circ$ ;  $35,5^\circ$ ;  $43,2^\circ$ ;  $53,5^\circ$  və  $62,9^\circ$

Şəkil 32-də PVDF+Fe<sub>3</sub>O<sub>4</sub>əsaslı polimer nanokompozitlərin Fe<sub>3</sub>O<sub>4</sub> nanohissəciklərin həcmi miqrardarından asılı olaraq AQM təsvirləri verilmişdir. Şəkil 15-də PVDF+Fe<sub>3</sub>O<sub>4</sub> əsaslı polimer nanokompozitlərin səthinin orta kvadratik kələ-kötürlük histoqramı verilmişdir. Müəyyən edilmişdir ki, PVDF+5%Fe<sub>3</sub>O<sub>4</sub> əsaslı nanokompozit üçün orta kvadratik kələ-kötürlük 5-15 nm, PVDF+10%Fe<sub>3</sub>O<sub>4</sub> nanokompozit üçün 10-40 nm, PVDF+40%Fe<sub>3</sub>O<sub>4</sub> üçün isə 40-100 nm təşkil edir.



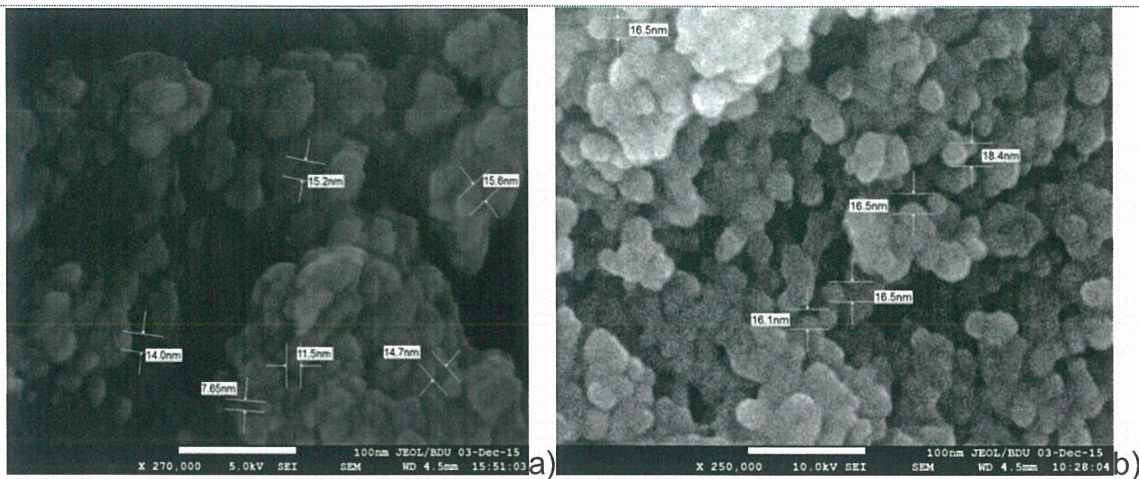
Şəkil 32. PVDF+Fe<sub>3</sub>O<sub>4</sub> əsaslı polimer nanokompozitlərin AQM təsvirləri. a)PVDF+5%Fe<sub>3</sub>O<sub>4</sub>; b) PVDF+10%Fe<sub>3</sub>O<sub>4</sub>; c)PVDF+40%Fe<sub>3</sub>O<sub>4</sub>.



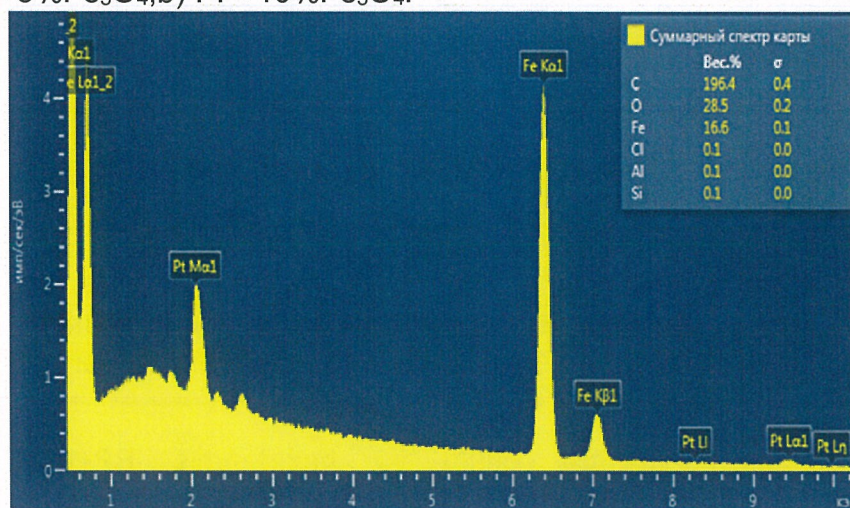
Yüksək tezlikli mikrodalğaları udan və dielektrik polimer matrisa və maqnit nanohissəciklərdən ibarət maqnit kompozit materiallar həm nəzəri baxımdan, həm də praktiki tətbiq baxımdından çox mühüm əhəmiyyət kəsb edir. Maqnit polimer nanokompozitlərdə ferromaqnit nanohissəcikləri qeyri-maqnit polimer materialda ferromaqnit monodomenlər şəklində paylanırlar. Məlumdur ki, nanokompozitlərin üst molekulyar quruluşunun dəyişməsi onların əsas xassələrinin formalaşmasında çox mühüm rol oynayır. Lakin eyni zamanda maqnit polimer nanokompozit materialların xassələrinin dəyişməsi nanokompozitlərin ayrı-ayrı komponentlərinin kompleks xassələrindən, polimer matrisin üst-molekulyar quruluşundan, nanohissəciklərin ölçülərindən, fazalararası qarşılıqlı təsirlərin dərəcəsindən, sərhədyanı fazalararası təbəqənin qalınlığından və polimer nanokompozitlərin alınma şəraitindən asılıdır [38-41].

1-ci texnoloji üsul kimi maqnit polimer nanokompozitlər ekstruziya üsulu ilə hazırlanmışdır. Ekstruziya ilə hazırlanma metodu ikivintlə mikroekstruder (DSM Explore 5 и 15 CC Micro Compounder) istifadə olunmaqla tətbiq edilmişdir. Ekstruziya və qarışma proseslərinin parametrləri aşağıdakı kimidir: spindelin fırlanma sürəti-100 firl/dəq, qarışma zamanı-2 dəq və temperatur-170-190°C təşkil etmişdir. Ekstruziya termoplastik polimerlərdən nazik təbəqələr, borular, liflər hazırlanmasında en ucuz istehsal metodlarından biri hesab olunur. Ərinmiş polimeri ekstruderin giriş başlığına daxil etməklə ekstrudata istənilən forma vermək olar. Ekstruziya maşınınında polimer materialın qranula və ya tozlarını onları əritmək üçün öncədən elektrik qızdırıcısı yerləşdirilmiş silindirdən bunkerə yüklenir. Spiral formalı fırlanan vint qaynar polimer kütləsinin silindrin bütün həcmi boyunca hərəkətini təmin edir. Nəticədə polimer kütləsinin hərəkəti zamanı fırlanan vint və silindr arasında sürtünmə yaranır ki, bu isə istiliyin ayrılmاسına və beləliklə işlənən polimerin temperaturunun qalxmasına səbəb olur. Polimer kütle hərəkət zamanı əsasən 3 dəqiq ayrılmış zonanı: sıxılma, yüksəlmə və homogenləşmə zonalarını keçir. Yüksəlmə zonası polimer kütləni bunkerdən sıxılma zonasına ötürür, adətən bu proses qızdırılma olmadan həyata keçir. Sıxılma zonasında qızdırıcı elementlərin hesabına polimer tozların ərinməsi baş verir, fırlanan vint isə bu zaman onu basır. Daha sonra pastaya bənzər polimer kütləsi homogenləşmə zonasına ötürülür və burada vintin xüsusi kəsiyi hesabına polimer kütle sabit axın sürəti alır. Məhz ekstruderin bu hissəsində müəyyən təzyiq altında polimer ərintisi çıxış hissəyə ötürülür və istənilən formaya malik materialın formalaşması baş verir. Bəzi hallarda, xüsəsən, yüksək özlülüklü bəzi polimerlər olduğu halda, qarışdırılma effektivliyini artırmaq üçün "işçi zona" deyilən bir zonanın olması zərurəti yaranır ki, burada polimer müəyyən təzyiqlərə məruz qalır. Ekstruderdən ekstruziya olunmuş material ifrat qızmış halda çıxır (temperatur 125-dən do 350°C-ə qədər dəyişir) və ekstruziya olubmuş materialın formasının saxlanması üçün onun kəskin soyudulur. Ekstrudat soyuq su ilə dolu vannadan keçən konveyer lentinə verilir və burada polimer kütləsinin bərkiməsi baş verir. Həmçinin ekstrudatın soyuması üçün onun soyuq suyla və havayla soyudulması həyata keçirir. Son məhsul kəsilməyə və hissələrə bölünməyə məruz edilir [42].

Şəkil 35-də ekstruziya üsulu ilə hazırlanmış polipropilen və  $Fe_3O_4$  əsaslı maqnit polimer nanokompozitlərin SEM təsvirləri verilmişdir. Şəkildən göründüyü kimi, ekstruziya üsulundan alınmış polimer nanokompozitlərdə nanohissəciklərin paylanması qeyri-bircins və qeyri-homogendir. Polipropilen matrisində  $Fe_3O_4$  nanohissəcikləri kiçik miqdarlarda polimer layları arasında ayrı-ayrı toplantılar şəkilində paylanır,  $Fe_3O_4$  nanohissəciklərinin miqdarları artıqca nanohissəciklərin paylanması qismən yaxşılaşır, lakin eyni zamanda polimer matrisdə aqlomerasiya edilmiş hissəciklərin sayı da artmış olur.

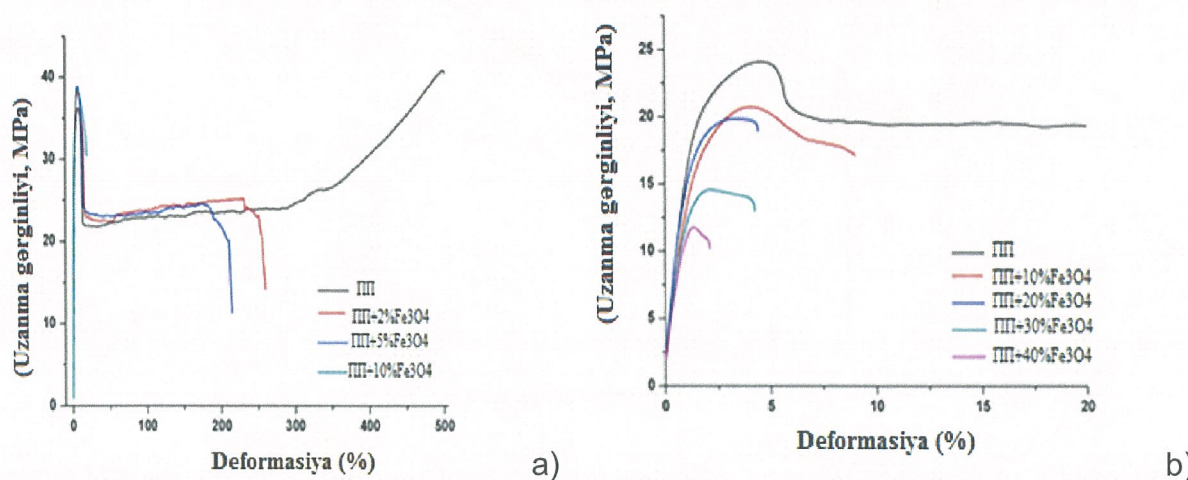


Şekil.36. Ex-situ və istidən pressləmə texnoloji üsulu ilə alınmış polimer nanokompozitlərin SEM təsvirləri:a) PP+5% $\text{Fe}_3\text{O}_4$ ;b) PP+10% $\text{Fe}_3\text{O}_4$ .



Şekil.37 PP+5% $\text{Fe}_3\text{O}_4$  əsaslı polimer nanokompozitlərin EDS spektri.

Həmçinin eksrtuziya və istidən pressləmə üsulu ilə hazırlanmış polimer nanokompozitlərin mexaniki xassələri tədqiq edilmişdir. Şəkil 38-də ekstruziya üsulu ilə hazırlanmış PP+ $\text{Fe}_3\text{O}_4$  əsaslı polimer nanokompozitlərin deformasiyon qırılma və əyilmə əyriləri verilmişdir. Polimer nanokompozitlərin mexaniki deformasiya olunma nəticələri Cədvəl 5-də verilmişdir.



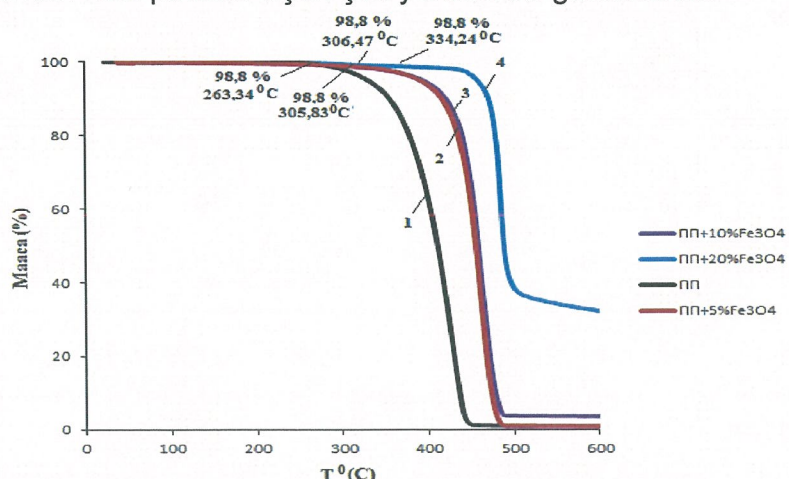
Şəkil 38. Ekstruziya üsulu ilə hazırlanmış PP+ $\text{Fe}_3\text{O}_4$  əsaslı polimer nanokompozitlərin deformasiyon qırılma və əyilmə əyriləri.

Cədvəl 6. İstidən pressləmə üsulu ilə alınmış PP+Fe<sub>3</sub>O<sub>4</sub> əsaslı polimer nanokompozitlərin mexaniki deformasiya olunma nəticələri:

Polimer nanokompozitlər	Axiciliq həddi (MPa)	Yunq modulu (MPa)	Qırılma zamanı gərginlik (%)
PP+1%Fe <sub>3</sub> O <sub>4</sub>	16.78±1.37	840.10±52.00	281.04±30.52
PP+5%Fe <sub>3</sub> O <sub>4</sub>	19.01±0.19	883.70±29.48	322.14±22.81
PP+8%Fe <sub>3</sub> O <sub>4</sub>	18.37±1.85	1075.80±18.63	191.05±61.37
PP+10%Fe <sub>3</sub> O <sub>4</sub>	20.77±1.18	1092.90±53.09	402.50±6.99
PP+20%Fe <sub>3</sub> O <sub>4</sub>	11.13±1.92	673.92±46.02	243.85±50.23
PP+40%Fe <sub>3</sub> O <sub>4</sub>	17.99±1.23	944.49±49.94	372.55±65.73

Cədvəl 6-dən göründüyü kimi, istidən pressləmə üsulu ilə alınmış polimer nanokompozitlərdə Fe<sub>3</sub>O<sub>4</sub> nanohissəciklərinin miqdarı artıqla Yunq modulunun artması, axiciliq həddinin isə praktiki olaraq dəyişməməsi müşahidə olunmuşdur. Həmçinin müyyəyən olunmuşdur ki, Fe<sub>3</sub>O<sub>4</sub> nanohissəciklərinin polipropilen matrisdə hətta yüksək miqdalarında (40% qədər) belə maqnit nanokompozitlər yüksək plastik deformasiya göstərir.

Şəkil 40-da PP+Fe<sub>3</sub>O<sub>4</sub> əsaslı polimer nanokompozitlərin TQA əyriləri verilmişdir. Şəkildən göründüyü kimi, PP 237,04°C-də termooksidləşmə destruksiyaya uğrayaraq kütlə itkisinə məruz qalır və bu itki 475,84°C-yə qədər fasılısız davam edir. Polipropilenə 5% miqdara qədər Fe<sub>3</sub>O<sub>4</sub>nanohissəcikləri daxil etdikdə də başlanğıc termooksidləşmə destruksiya temperaturu yüksək temperaturlara qədər sürüşərək 306,47°C təşkil edir və bu nanokompozitlər üçün kütlə itkisi fasılısız olaraq 477,65°C-yə qədər davam edir.Fe<sub>3</sub>O<sub>4</sub> nanohissəciklərinin miqdarı polimer matrisdə artıqla başlanğıc termooksidləşmə destruksiya temperaturu daha da yüksək temperaturlara qədər sürüşür. Belə ki, Fe<sub>3</sub>O<sub>4</sub> nanohissəcikləri polimerdə 20%-ə qədər olduqda artıqla başlanğıc termooksidləşmə destruksiya temperaturu 334,24°C-yə qədər sürüşür və kütlə itkisi 495,6°C-yə qədər fasılısız davam edir. Beləliklə, Fe<sub>3</sub>O<sub>4</sub> nanohissəciklərinin polipropilen matrisinə daxil edilməsi zamanı polimerin termodavamlılığı artır və bu termodavamlılıq Fe<sub>3</sub>O<sub>4</sub> nanohissəciklərinin 20% kütlə miqdarına qədər davam edir (Cədvəl 3). Beləliklə, Fe<sub>3</sub>O<sub>4</sub> nanohissəciklərinin polipropilendə 20% kütlə miqdarına kimi olduqda polimer nanokompozitin termodavamlılığı 100°C dərəcə qalxır, bu isə PP kimi sənaye polimeri kimi polimer üçün çox yüksək bir göstəricidir.



Şəkil 40. PP+Fe<sub>3</sub>O<sub>4</sub> əsaslı polimer nanokompozitlərin TQA əyriləri: 1.PP; 2.PP+5%Fe<sub>3</sub>O<sub>4</sub>; 3.PP+10%Fe<sub>3</sub>O<sub>4</sub>; 4.PP+20%Fe<sub>3</sub>O<sub>4</sub>.

QHs) mikrodalğalarını udulma faizi 15,5-22,7% arasında dəyişmişdir. Cədvəl 10-da ekstruziya üsulu ilə ilə alınmış PP+Fe<sub>3</sub>O<sub>4</sub> əsaslı nanokompozisiyaların yüksək tezlikli mikrodalğaları udma nəticələri göstərilmişdir. Cədvəl 6-dan göründüdü kimi, eksruziya üsulu ulə alınmış polimer nanokompozitlərin mikrodalğaları udulma faizi uyğun olaraq 6-14% arasında dəyişmişdir. Göründüyü kimi, istidən pressləmə üsulu ilə alınmış polimer ferromaqnit nanokompozitlər yüksək tezlikli mikrodalğaları ekstruziya üsulu ilə alınmış nanokompozitlərdən daha yaxşı udur, bu isə ekstruziya üsulu ilə alınmış nanokompozitlərdən mikrodalğaların maniyesiz keçməsi ilə izah olunur.

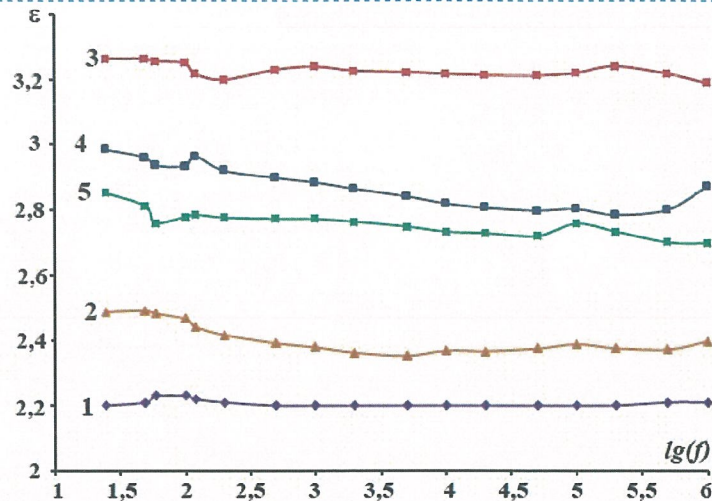
Cədvəl 9. İstidən pressləmə üsulu ilə alınmış PP+Fe<sub>3</sub>O<sub>4</sub> əsaslı nanokompozisiyaların yüksək tezlikli mikrodalğaları udma nəticələri.

Nö	Polimer nanokompozitlər	Nanokompozit təbəqələrin qalınlığı (mkm)	I <sub>0</sub> (μA)	I (μA)	Mikrodalğaları udma faizi(%)
1	PP+5%Fe <sub>3</sub> O <sub>4</sub>	400	260	220	15
2	PP+10%Fe <sub>3</sub> O <sub>4</sub>	400	275	232,5	15,5
3	PP+20%Fe <sub>3</sub> O <sub>4</sub>	400	275	230	16,3
4	PP+40%Fe <sub>3</sub> O <sub>4</sub>	400	275	212,7	22,7

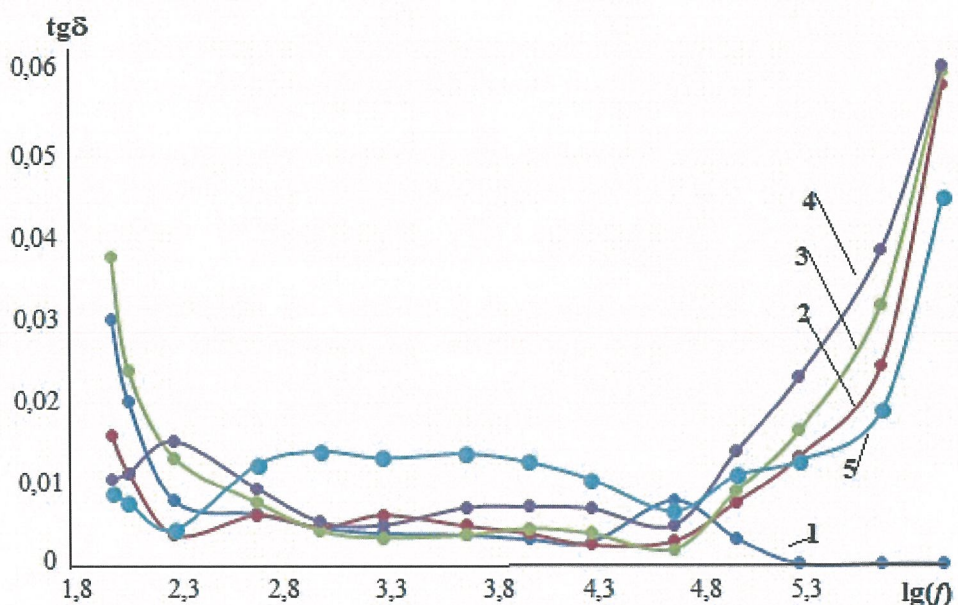
Cədvəl 10. Ekstruziya üsulu ilə alınmış PP+Fe<sub>3</sub>O<sub>4</sub> əsaslı nanokompozisiyaların yüksək tezlikli mikrodalğaları udma nəticələri.

Nö	Polimer nanokompozitlər	Nanokompozit təbəqələrin qalınlığı (mkm)	I <sub>0</sub> (μA)	I (μA)	Mikrodalğaları udma faizi(%)
1	PP+10%Fe <sub>3</sub> O <sub>4</sub>	400	270	254	6
2	PP+20%Fe <sub>3</sub> O <sub>4</sub>	400	270	244	10
3	PP+30%Fe <sub>3</sub> O <sub>4</sub>	400	270	238	12
4	PP+40%Fe <sub>3</sub> O <sub>4</sub>	400	270	232	14

Beləliklə, Fe<sub>3</sub>O<sub>4</sub> ferromaqnit nanohissəciklər daxil edilmiş polimer nanokompozitlərin müxtlüf texnoloji üsullarla alınması həyata keçirilmiş, həmçinin hazırlanmış bu texnoloji üsulların polimer nanokompozitlərin quruluşu, mexaniki və termiki xassələrinə təsiri tədqiq edilmişdir. Müəyyən edilmişdir ki, hər bir texnoloji üsul təyinatından asılı olaraq öz üstünlüklərinə malikdir. İstidən pressləmə üsulu nanohissəciklərin polimerə daxil edilməsinin en defektsiz üsullarından hesab olunur. Bu üsul zamanı nanohissəcikləri cox böyük həcmi miqdara qədər polimer matrisə daxil etmək mümkündür. Dispers doldurucunun sərhəd miqdarı kompozitin xassələrinin dəyişmə dərəcəsi ilə, kompozitin reoloji xassələri ilə, təkrar işlənməsi ilə, həmçinin özlülük həddi ilə müəyyən olunur. Nanohissəciklərlə polimerdə yüksək dolma ekstruziya və təzyiq altında tökmə üsulları ilə nail olmaq mümkün deyil. Bu üsullardan polimerdə yalnız 20-25% qədər dolmaya nail olmaq olar. Həmçinin, ekstruziya və təzyiq altında tökmə üsulları zamanı hətta nanohissəciklərin polimerdə kiçik miqdalarında belə defektsiz kompozit strukturlar almaq mümkün deyil. İstidən pressləmə üsulu əsasən 3 parametrlə - təzyiq, temperatur və nümunəni təzyiq altında saxlanma müddəti ilə təyin olunur. Təzyiq, temperatur və zamanı idarə etməklə yüksək effektivli defektsiz maqnit polimer nanokompozitlər hazırlamaq olar. Kompozitin pressləmə temperaturu polimerin ərimə temperaturu, axıcılıq həddi və kompoziti pressin altında saxlanma şəraiti ilə təyin olunur. Kompozitlərin hazırlanması zamanı nümunələr polimerin ərimə temperaturunda presslənir, təzyiq optimal səviyyəyə qədər qaldırılır və müəyyən zaman ərzində təzyiq altında kompozit nümunələr müxtlüf sürətlə soyudulur. İstidən pressləmə üsulu ilə polimer nanokompozitlərin digər metodlarla müqayisədə əsas üstünlüyü ondan ibarətdir ki, doldurucu polimer matrisdə homogen paylanır və defektsiz kompozit strukturlar almaq mümkündür. Həmçinin müəyyən olunmuşdur ki, istidən pressləmə üsulu ilə alınmış polimer ferromaqnit nanokompozitlər

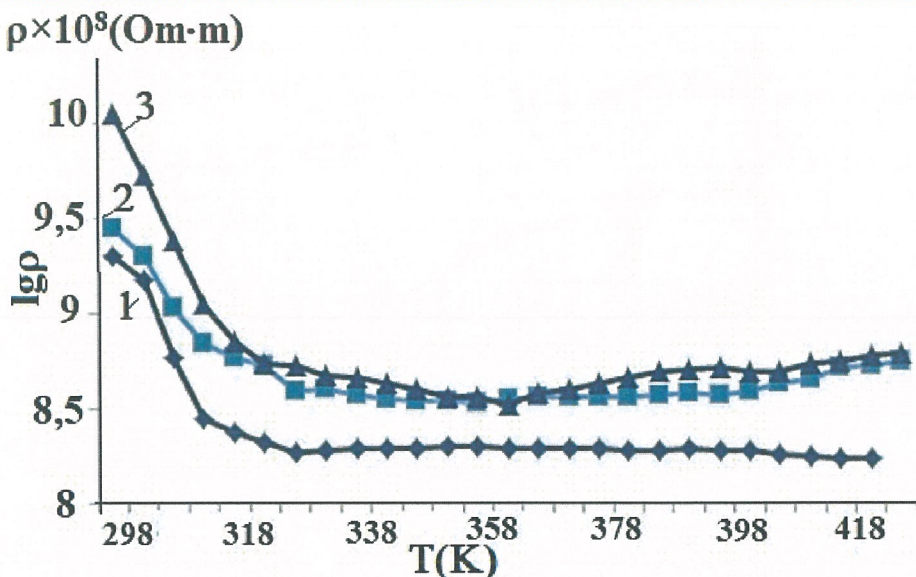


Şek.42. PP+Fe<sub>3</sub>O<sub>4</sub> əsaslı nanokompozit nümunənin dielektrik nüfuzluğunun ( $\epsilon$ ) tezlikdən asılılığı: 1) PP, 2) PP+3%Fe<sub>3</sub>O<sub>4</sub>, 3) PP+5%Fe<sub>3</sub>O<sub>4</sub>, 4) PP+7%Fe<sub>3</sub>O<sub>4</sub>, 5) PP+10%Fe<sub>3</sub>O<sub>4</sub>



Şek.43. PP+Fe<sub>3</sub>O<sub>4</sub> əsaslı nanokompozit nümunənin dielektrik itkileri bucağının tangensinin tezlikdən asılılığı: 1) PP, 2) PP+3%Fe<sub>3</sub>O<sub>4</sub>, 3) PP+5%Fe<sub>3</sub>O<sub>4</sub>, 4) PP+7%Fe<sub>3</sub>O<sub>4</sub>, 5) PP+10%Fe<sub>3</sub>O<sub>4</sub>.

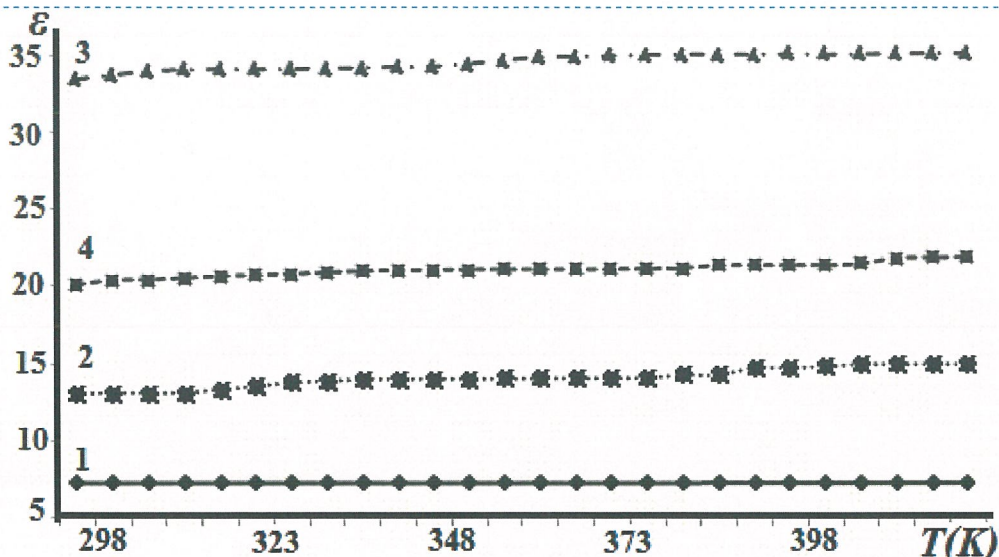
Təmiz polipropilen nümunə üçün dielektrik itki bucağının tangensinin tezliyin loqorifmik qiymətindən asılılıq əyrisində 10 kHs-100 kHs aralığında relaksasiya piki müşahidə olunmuşdur. Fe<sub>3</sub>O<sub>4</sub> nanohissəciklərinin daxil edilməsi relaksasiya proseslərində dəyişiklik ilə müşahidə olunur. Belə ki, yuxarı tezlik oblastında təmiz PP-dən fərqli olaraq ikinci bir rezonans maksimumu qeydə alınır və nanokompozitin bütün konsentrasiyaları üçün dielektrik itkileri bucağının tangensinin qiyməti təmiz polipropilenlə müqayisədə daha yuxarı olur. Məlumudur ki, dielektrik itki bucağının tangensi materialda baş verən enerji dissipasiyalarını xarakterize edir. Nano ölçülü əlavənin daxil edilməsi ilə yuxarı tezlik oblasında dielektrik itkilerinin artması onunla izah oluna bilər ki, maqnetit nanohissəciklərin polimerə daxil olunması ilə polimerdəki daxili sahə modifikasiya olunur, nəticədə yuxarı tezliklərdə xarici sahənin qiymətinin dəyişməsi zamanı, polimerdə bu dəyişmələrə cavab verən rezonans maksimum itir, eyni zamanda dissipasiyaların miqdarı artmış olur. Şəkil 44-də PP+Fe<sub>3</sub>O<sub>4</sub> əsaslı polimer nanokompozitlərin dielektrik itki bucağının tangensinin konsentrasiyadan asılılıq əyrisi verilmişdir. Əyridən də göründüyü kimi aşağı konsentrasiyalarda dielektrik itkileri, yəni enerji səpilmələri azalır, konsentrasiyanın sonrakı



Şek.46.PP+ $\text{Fe}_3\text{O}_4$ əsaslı nanokompozit nümunələrin xüsusi müqavimətinin temperaturdan asılılığı.1) PP+3% $\text{Fe}_3\text{O}_4$  2) PP+5% $\text{Fe}_3\text{O}_4$  3)PP+7% $\text{Fe}_3\text{O}_4$

Polimerəsaslı kompozitlərin geniş temperatur-tezlik intervalında dielektrik xassələrinin tədqiqi polyar polimer əsasında alınmış kompozitlərin xarici elektrik sahəsinin parametrlərindən kəskin asılı olması belə materialların dielektrik xassələrinin öyrənilməsini əhəmiyyətini artırılmış olur. Polyar polimerlər əsasında alınmış nanokompozitlərin dielektrik xassələrinin araşdırılması, onlarda gedən polyarlaşma prosesinin mexanizminin müəyyən olunması və yüksək izolyasiya qabiliyyətinə malik materialların əldə olunması baxımdan olduqca vacibdir. Ümumi şəkildə yanaşıldıqda polimerlərin dielektrik xassələrini adekvat şəkildə təsvir edən bitkin bir nəzəriyyə mövcud deyildir. Ona görə də bütün eksperimental nəticələr bir qayda olaraq empirik şəkildə fiziki, mexaniki və molekulyar xarakteristikalarla korelyasiya olunur. Qeyri-polyar dielektriklərin moleküllərində dipolların elektrik momenti xarici elektrik sahəsinin təsiri ilə yüklerin molekulda hissə-hissə paylanması (deformasiya polyarlaşması) hesabına induksiya olunur. Bu zaman yaranan elektrik momenti deformasiya xarici sahənin qiyməti ilə mütənasib olur. Polyar dielektriklərin molekülləri isə xarici sahə olmadıqda belə sabit dipol momentinə malik olurlar, lakin onlar bütün matrisada xaotik paylanır. Ona görə də xarici sahənin təsiri ilk növbədə artıq mövcud olan dipolların oriyentasiya etməsi ilə müşahidə olunur. Bu növ polyarlaşma oriyentasiya və ya dipol polyarlaşması adlanır. Deformasiya polyarlaşmasından fərqli olaraq oriyentasiya polyarlaşması zamandan aslı olaraq daha da artır və temperaturdan-istilik hərəkətinin intensivliyidən aslidir. Bu onunla bağlıdır ki, sahədə dipolin istiqamətlənməsi molekulun və ya onun hansısa bir fragmentinin yerdəyişməsi ilə bağlıdır. Bunun üçün isə müəyyən zaman tələb olunur, istilik hərəkəti isə bu prosesə mane olur. Nanoölçülü doldurucuların polimer matrisə daxil edilməsi alınmış nanokompozitdə relaksasiya proseslərinə təsir edərək elektrofiziki parametrin dəyişməsinə səbəb olur. Bu baxımdan nanokompozitin elektrofiziki parametrlərin öyrənilməsi quruluş dəyişikliklərinin izah etmək baxımdan əhəmiyyətlidir. PVDF+ $\text{Fe}_3\text{O}_4$  nümunələrin elektrofiziki xassələri o cümlədən dielektrik nüfuzluğu və dielektrik itkiləri bucağının tangensinin tezlik, temperaturaslılığı «E-20» cihazı vasitəsi ilə 50 Hs-dən 1 MHs-ə qədər tezlik intervalında və 293 K-dən 430 K-ə qədər temperatur intervalında aparılmışdır. Şəkil.6-da təmiz PVDF və PVDF+ $\text{Fe}_3\text{O}_4$  nanokompozitin dielektrik nüfuzluğunun tezlikdən asılılıq qrafiki verilmişdir.

Şəkil 47-dən da göründüyü kimi təmiz polimer və PVDF+ $\text{Fe}_3\text{O}_4$  nanokompozitin dielektrik nüfuzluğunun tezliyin loqarifmik qiymətdən asılılıq əyrisi qurulmuşdur. Müəyyən olunmuşdur ki, dielektrik nüfuzluğunun qiyməti nanohissəciklərin konsentrasiyasından asılı olaraq ekstremumla dəyişir, belə ki,  $\text{Fe}_3\text{O}_4$  nanohissəciklərinin 7% kütlə miqdarında dielektrik nüfuzluğu maksimum qiymət alır.



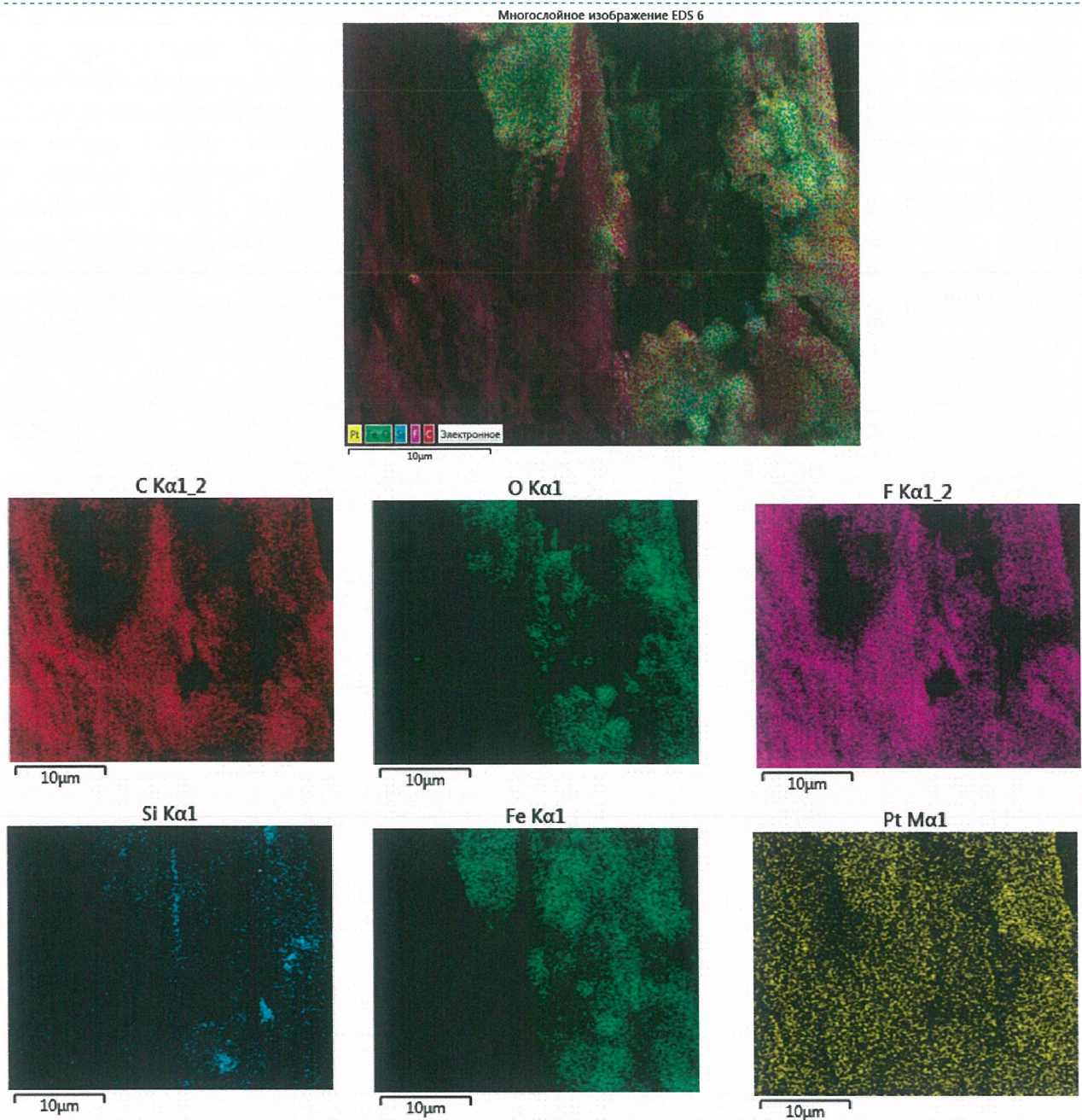
Şək.49. PVDF+ $\text{Fe}_3\text{O}_4$  nanokompozitlərinin dielektrik nüfuzluğunuun temperaturdan asılılıq əyriləri: 1)Təmiz PVDF 2)PVDF+7% $\text{Fe}_3\text{O}_4$ , 3)PVDF+3% $\text{Fe}_3\text{O}_4$ , 4)PVDF+10% $\text{Fe}_3\text{O}_4$ .

Beləliklə, termoplastik polimerlə örtülmüş nanoölçülü ferromaqnit nanokompozitlər sintez olunmuş və onların elektrofiziki xassələri tədqiq edilmişdir. Müəyyən olunmuşdur ki, polyar və qeyri-polyar polimerlər əsasında alınmış nanokompozitlərin dielektrik xassələrinin araşdırılması, onlarda gedən polyarlaşma prosesinin mexanizminin müəyyən olunması və yüksək izolyasiya qabiliyyətinə malik materialların əldə olunması baxımından olduqca vacibdir.

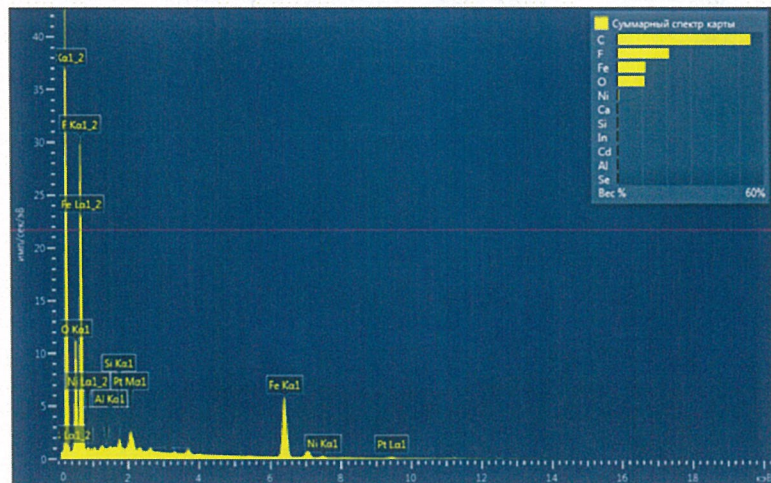
Müəyyən olunmuşdur ki, polivinilidenflorid (PVDF) polimeri yarımkristallik polimerdir və özünün istiliyə davamlılığına və kimyəvi dayanıqlılığına görə fərqlənir və yüksək piroelektrik və pyezoelektrik xassələrinə malikdir və bu xassələrinə görə digər polimerlərdən kəskin fərqlənir. Bütün bu xassələr, yüksək elastiklik, nisbi şəffaflıq və işlənmənin sadəliyi bu materialları müxtəlif texnoloji işlər üçün çox yararlı edir. Matrisaya müxtəlif ölçülü nanohissəciklər daxil etməklə onların keçiricilik və digər kompleks xassələrini doldurucunun təbietini və xassələrini dəyişməklə yaxşılaşdırmaq olur. Bu cür kompozitlərin son xassələri əsasən hissəciklərin ölçülərindən, hazırlanma texnologiyasından və onların polimer matrisada paylanmasından asılı olacaq.

Üçfazalı yeni polimer nanokompozitlərin alınmasına baxılıb və PVDF, maqnit nanohissəcik ( $\text{Fe}_3\text{O}_4$ ) və çoxlaylı karbon nanoborularından istifadə edilib (KNB). Bu cür quruluşa malik nanokompozit çoxfunksional material kimi KNB-nin, və maqnit nanohissəciyinin( $\text{Fe}_3\text{O}_4$ ) maqnit xassələrini özündə saxlamaqla həm də polimer matrisanın PVDF-in istismar xassələrinə malik olur. Üç fazalı polimer nanokompozit sistemi olan PVDF+ $\text{Fe}_3\text{O}_4$ +KNB sintezi ex-situ texnologiyası ilə yerinə yetirilir. Əvvəlcə PVDF+DMF polimer məhluluna 3-5nm ölçülü müxtəlif konsentrasiyada maqnetit nanohissəcikləri  $\text{Fe}_3\text{O}_4$  daxil edilir və 2 saat müddətində qarışdırılır. Sonra PVDF+DMF+  $\text{Fe}_3\text{O}_4$  polimer məhluluna çoxlaylı karbon nanoborusu daxil edilir və 4 saat müddətində qarışdırılır və homogen məhlul alınır. Sonra isə nanokompozit nümunə almaq üçün məhlul qrudulur, sonra isə istidə pressləmə üsulu ilə nanokompozit nümunələr alınır.

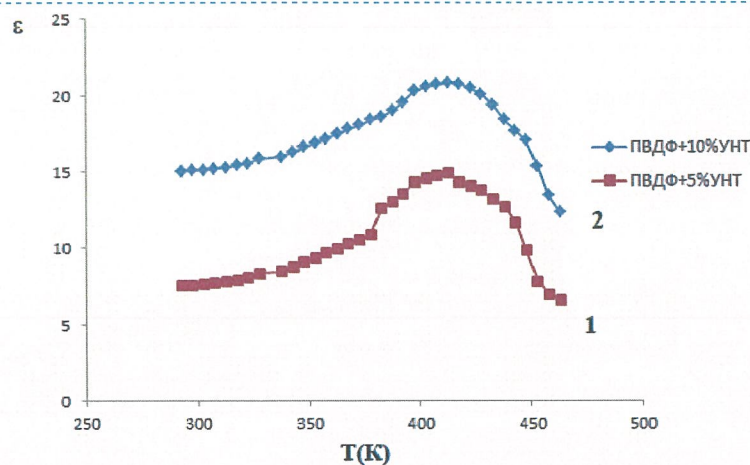
Şəkil 50 –də PVDF+ $\text{Fe}_3\text{O}_4$ , PVDF+UNT və PVDF+ $\text{Fe}_3\text{O}_4$ +UNT əsaslı polimer nanokompozitlərin difraktoqramları verilmişdir. Müəyyən edilmişdir ki, üçüncü faza qismində PVDF+ $\text{Fe}_3\text{O}_4$  polimer nanokompozit sisteminə karbon nanoboruları əlavə edilməsi PVDF-in  $\alpha$ -fazaları üçün xarakterik olan piklərin intensivliyinin  $2\theta = 17.8^\circ$ ,  $18.5^\circ$ ,  $20^\circ$  və  $26.8^\circ$  qiymətlərində artması müşahidə olunur. Həmçinin müəyyən edilmişdir ki, UNT –nın PVDF matrisasına daxil edilməsi ilə PVDF-in  $\beta$ -fazasına uyğun olan  $20.6^\circ$  pikin intensivliyi artır.



Şəkil 52. PVDF+ $\text{Fe}_3\text{O}_4$ +UNT əsaslı nanokompozitin xəritələnməsi.



Şəkil 53 PVDF+ $\text{Fe}_3\text{O}_4$ +UNT əsaslı nanokompozitin EDS spektri.



Şəkil 56. PVDF + UNT əsaslı polimer nanokompozitlərin dielektrik nüfuzluğunun temperaturdan asılılığı: 1. PVDF+5%UNT; 2. PVDF+10%UNT.

Həmçinin PVDF+Fe<sub>3</sub>O<sub>4</sub>+UNT əsaslı üçfazalı polimer nanokompozitlərin elektrofizik xassələri də öyrənilmişdir. Şəkil

-də PVDF+Fe<sub>3</sub>O<sub>4</sub>+UNT əsaslı polimer nanokompozitlər üçün dilektrik nüfuzluğunun (a) və dilektrik itkisi bucağının tangensinin (b) tezlikdən asılılığı verilmişdir.

Şəkil 57 (a) -dan göründüyü kimi PVDF+Fe<sub>3</sub>O<sub>4</sub>+UNT əsaslı polimer nanokompozitlərin dielektrik nüfuzluğu tezlikdən asılı olaraq kəskin azalır. Bu onunla izah olunur ki, tezlik artıqca nanokompozitlərdə poliyarizasiya prosesləri pisləşir. Şəkil 57 (b)-dən göründüyü kimi, PVDF+Fe<sub>3</sub>O<sub>4</sub>+UNT əsaslı polimer nanokompozitlərin dilektrik itkisi tangensi 1kHz tezliklərinə qədər azalır, lakin bundan sonra dilektrik itkisinin artması müşahidə edilir. Bu asılılıqdan belə bir nəticəyə gəlmək olar ki, verilmiş üçfazalı nanokompozitlərdən gələcəkdə geniş diapazonda radiodalğaları udan materialları kimi istifadə etmək olar.

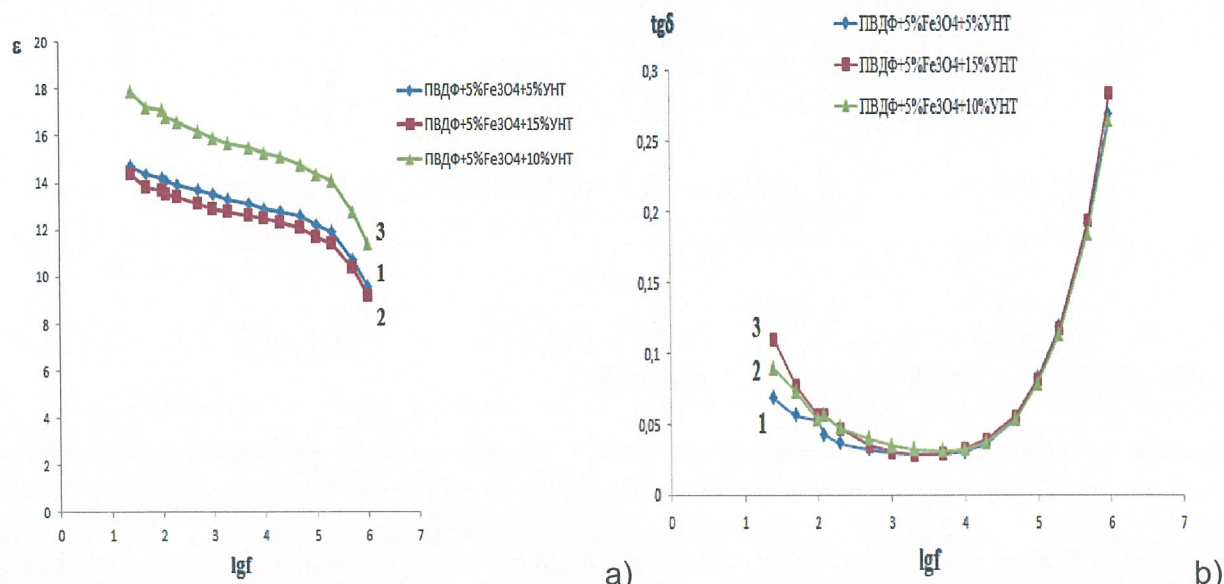


Рис.57. PVDF+Fe<sub>3</sub>O<sub>4</sub>+UNT əsaslı polimer nanokompozitlər üçün dilektrik nüfuzluğunun (a) və dilektrik itkisi bucağının tangensinin (b) tezlikdən asılılığı:

1. PVDF+5%Fe<sub>3</sub>O<sub>4</sub>+5%UNT; 2.PVDF+5%Fe<sub>3</sub>O<sub>4</sub>+10%UNT;
3. PVDF+5%Fe<sub>3</sub>O<sub>4</sub>+15%UNT.

Şəkil 58-də PVDF(1) və PVDF+UNT (2), PVDF+Fe<sub>3</sub>O<sub>4</sub> (3) və PVDF+Fe<sub>3</sub>O<sub>4</sub>+UNT (4) əsaslı nanokompozitlərin dielektrik nüfuzluğunun tezlikdən asılılığı qrafikləri müqayisəli verilmişdir. Göründüyü kimi, üçfazalı nanokompozitlər üçün dielektrik nüfuzluğu bütün tezliklərdə təmiz

### Әдебиyyat:

1. А.В.Лукашин, А.А.Елисеев Химические методы синтеза наночастиц Методические материалы, Москва 2007
2. Hossein Asnaashari Eivari, Abbas Rahdar Some Properties of Iron Oxide Nanoparticles Synthesized in Different Conditions Hossein Asnaashari Eivari and Abbas Rahdar, World Applied Programming, Vol (3), No (2), February 2013
3. ZHAO Yuanbi, QIU Zumin\*\* and HUANG Jiaying Preparation and Analysis of Fe<sub>3</sub>O<sub>4</sub> Magnetic Nanoparticles Used as Targeted-drug Carriers\* *Chinese Journal of Chemical Engineering*, 16(3) 451—455 (2008)
4. Ang, B.C., Iskandar, I.Y., "Synthesis and characterization of magnetic iron oxide nanoparticles via w/o microemulsion and Massart's procedure, J. Mater. Process. Technol., **191**, 235-237 (2007).
5. H.El Ghandoor, H. M. Zidan, Mostafa M.H. Khalil and M. I. M. Ismail Synthesis and Some Physical Properties of Magnetite (Fe<sub>3</sub>O<sub>4</sub>) Nanoparticles Int. J. Electrochem. Sci., 7 (2012) 5734 – 5745
6. Jiang, W.Q., Yang, H.C., Yang, S.Y., Horng, H.E., Hung, J.C., Chen, Y.C., Hong, C.Y., "Preparation and properties of superparamagnetic nanoparticles with narrow size distribution and biocompatible", J. Magn. Magn. Mater, 283, 210-214 (2004).
7. Jiang, X.Y., Zhou, C.Sh., Zhang, J.Sh., Yang, J.Y., "Preparation and analysis of magnetic nanoparticles used as targeted-drug carriers", J. Central South Univ. Technol., 34 (5), 516-520 (2003). (in Chinese)
8. M.Farajia, Y.Yaminia,\* , E.Tahmasebia, A.Saleha and F. Nourmohammadian Cetyltrimethylammonium Bromide-Coated Magnetite Nanoparticlesas Highly Efficient Adsorbent for Rapid Removal of Reactive Dyes from the Textile Companies' Wastewaters *J. Iran. Chem. Soc.*, Vol. 7, Suppl., July 2010, pp. S130-S144.
9. Massart, R.J., "Preparation of magnetite nanoparticles", IEEE Trans Magn., 17, 11247-11250 (1981).
10. Qiu, X.P., "Preparation and characterization of Fe<sub>3</sub>O<sub>4</sub>, magnetic nanoparticles", *J. Xiamen Uni. (Nat. Sci. Ed.)*, **38** (5), 711-714 (1999). (in Chinese)
11. Saowaluk Chaleawlert-umpon, and Nuttaporn PimphaMorphology Study of Superparamagnetic Iron Oxide-Chitosan Nanoparticles *Journal of Microscopy Society of Thailand* 2009, 23(1): 62-65
12. Tu, G.R., Liu, X.F., Du, G.X., Zhou, X.H., Dang, H.J., "Synthesis and characteristic determination of nanosized Fe<sub>3</sub>O<sub>4</sub> powder", *Fine Chem.*, **21** (9), 641-644 (2004)
13. Zhou, Z.H., Wang, J., Liu, X., "Synthesis of Fe<sub>3</sub>O<sub>4</sub> nanoparticles from emulsion", *J. Mater. Chem.*, **11**, 1704-1709 (2001).
14. Zhang, W.J., Zhang, H.F., Li, D.Z., "Preparation of Fe<sub>3</sub>O<sub>4</sub> magneti fluid by one-step method with a microemulsion reactor", *Chin. J. Appl. Chem.*, **22** (7), 734-738 (2005)
15. Zhang,X., Li, X.G., Jiang, B., "Preparation and characterization of nanometer magnetite", *Chem. Ind. Eng.*, **23** (1), 45-48 (2006)
16. Криштал М.М., Ясников И.С., Полунин В.И., Филатов А.М., Ульяненков А.Г. Сканирующая электронная микроскопия и рентгеноспектральный микроанализ в примерах практического применения. Техносфера Москва 2009
17. В.Л.Миронов Основы сканирующей зондовой микроскопии микроскопия, Техносфера, Москва, 2004, 143 с.
18. M.A.Ramazanov, R.A.Ali-Zade, P.B.AgakishievaStructureand magnetic properties of nanocomposites on the basis PE+Fe<sub>3</sub>O<sub>4</sub> и PVDF+ Fe<sub>3</sub>O<sub>4</sub> Digest Journal of Nanomaterials and Biostructures Vol.5, No3, July-September 2010, p.727-733, [http://www.chalcogen.ro/727\\_Ramazanov.pdf](http://www.chalcogen.ro/727_Ramazanov.pdf)
19. M. A. Ramazanov, P. B. Agakishiyeva, M. A. Nuriyev, Sh. Sh. Amirov

- 34.I. Kong, S.H. Ahmad, M.H. Abdullah , A.N. Yusoff The Effect Of Temperature On Magnetic Behavior Of Magnetite Nanoparticles And Its Nanocomposites *AIP Conference Proceedings* (Vol. 1136, pp. 830-834). DOI: [10.1063/1.3160267](https://doi.org/10.1063/1.3160267)
- 35.Daniel Esmarch Madsen, MikkelFougt Hansen and Steen MørupThe correlation between superparamagnetic blocking temperatures and peak temperatures obtained from ac magnetization measurements *Journal of Physics: Condensed Matter*, Volume 20, Number 34, <https://doi.org/10.1088/0953-8984/20/34/345209>
- 36.J.L.Dormann, D. Fiorani, M.El.YamaniField dependence of the blocking temperature in the superparamagnetic model: H<sup>23</sup> coincidence *Physics Letters A*Volume 120, Issue 2, 2 February 1987, Pages 95-99, [https://doi.org/10.1016/0375-9601\(87\)90085-5](https://doi.org/10.1016/0375-9601(87)90085-5)
- 37.Abel Maharramov, MahammadaliRamazanov, Mohammad Reza Sabotakin Advanced Nanocomposites Types, Properties and Applications Nova Publisher, Nyu York, 2013, p. 334, [www.amazon.com/Advanced-Nanocomposites-Properties-Applications-Nanotechnology/dp/1628083085](http://www.amazon.com/Advanced-Nanocomposites-Properties-Applications-Nanotechnology/dp/1628083085)
- 38.Pomogaylo A.D., Rozenberg A.S., Uflyand I.E. Publ: Chemistry, 2000. 671 p
- 39.Abel Maharramov, MahammadaliRamazanov, Mohammad Reza Sabotakin Nova Publisher, Nyu York, 2013, p.334
- 40.M.A.Ramazanov, R.A.Ali-Zade, P.B.Agakishieva Digest *Journal of Nanomaterials and Biostructures* Vol.5, No3, July-September 2010, p.727, [http://www.chalcogen.ro/727\\_Ramazanov.pdf](http://www.chalcogen.ro/727_Ramazanov.pdf)
- 41.Maharramov A.M, M.A.Ramazanov, Alizade R.A, Asilbeyli P.B Digest *Journal of Nanomaterials and Biostructures* Vol.8, No4, p.1447, [http://www.chalcogen.ro/1447\\_Ramazanov.pdf](http://www.chalcogen.ro/1447_Ramazanov.pdf)
- 42.Luca Di Palma, Irene Bavasso, Fabrizio Sarasini, Jacopo Tirillò, Debora Puglia, Franco Dominici, Luigi Torre, Armando Galluzzi, Massimiliano Polichetti, Mahammadali A. Ramazanov, Flora V. Hajiyeva, Habiba A. Shirinova, *POLYMER COMPOSITES—2018*, p.1742-1750, DOI 10.1002/pc
- 43.M.A. Ramazanov, F.V. Hajiyeva, A.M. Maharramov, L. Di Palma, D. Sannino, M. Takafuki, H.M. Mammadov, U.A.Hasanova, H.A.Shirinova, and Z.A. Bayramova, *Polym. Plast. Technol. Eng.*, (2017). doi:10.1080/03602559.2017.1320721
- 44.H. Shirinova, L. Di Palma, F. Sarasini, J. Tirill, M.A.Ramazanov, F. Hajiyeva, D. Sannino, M. Polichetti, and A.Galluzzi, *Chem. Eng. Trans.*, 47, (2016).
- 45.E. Vunain, A.K. Mishra, and R.W. Krause, *J Inorg OrganometPolym Mater*, 23, 293 (2013).
- 46.P. Russo, D. Acierno, M. Palomba, G. Carotenuto, R. Rosa, A. Rizzuti, and C. Leonelli, *J Nanotechnol*, 2012, 1 (2012).
- 47.X. Zhang, and L.C. Simon, *Macromol. Mater. Eng.*, 290,573 (2005).
- 48.M.A. Ramazanov, F.V. Hajiyeva, A.M. Maharramov, L. Di Palma, D. Sannino, M. Takafuki, H.M. Mammadov, U.A.Hasanova, H.A.Shirinova, and Z.A. Bayramova, *Polym. Plast. Technol.Eng.*, (2017). doi:10.1080/03602559.2017.1320721
- 49.H. Shirinova, L. Di Palma, F. Sarasini, J. Tirill, M.A.Ramazanov, F. Hajiyeva, D. Sannino, M. Polichetti, and A.Galluzzi, *Chem. Eng. Trans.*, 47, (2016).
- 50.A.M.Magerramov, Ramazanov M.A., Hajiyeva F.V., S.G.Nuriyeva Structure and dielectric properties of polymer nanocomposites on the basis of polypropylene and silver sulfide PP/Ag<sub>2</sub>S International Conference Modern trends in physics 20-22April, 2017, p.7-11
- 51.A structure and dielectric properties of nanocomposites based on isotactic polypropylene and lead sulphide nanoparticles\_Journal Chalcogenide Letters, Volume 13, Issue 1, pages 35-40, 2016
- 52.A.M.Maharramov, M.A.Ramazanov, J.R.Sultanova, F.V.Hajiyeva, U.A.Hasanova The structure and dielectric properties of nanocomposites based on isotactic polypropylene and iron nanoparticles Journal of Optoelectronics and Biomedical Materials Vol. 8, No.

yaradılacaq ferromaqnit nanokompozit təbəqələrin elektromaqnit dalğalarını udma xüsusiyyətini geniş diapazonda variasiya etmək mümkün olacaqdır.

## 2. Layihənin nəticələrindən gələcək tədqiqatlarda istifadə perspektivləri

1

Nəticələrin istifadəsi perspektivləri (fundamental, tətbiqi və axtarış-innovasiya yönlü elmi-tədqiqat layihə və proqramlarında; dövlət proqramlarında; dövlət qurumlarının sahə tədqiqat proqramlarında; ixtira və patent üçün verilmiş ərizələrdə; beynəlxalq layihələrdə; və digərlərində)

Müxtəlif növ ferromaqnit nanohissəciklər sintez olunmuş, yüksək tezlikli elekromaqnit dalğalarının kompozitlərlə qarşılıqlı təsirinin xüsusiyyətləri müəyyən edilmiş, həmçinin ifrat yüksək tezliklər diapazonlarında elektromaqnit dalğaları ilə effektiv manipulyasiya olunan KBN və maqnit nanohissəcikləri tərkibli kompozitlərin ümumi istifadə konsepsiyası işlənmişdir. Alınan nəticələr antistatik örtüklərin, effektiv ekran və udacuların və eləcə də aerokosmik istifadəsi üçün çoxfunksiyalı materialların istehsalında və işlənməsində istifadə edilə bilər.

#### 4. İxtira və patentlər (sayı)

Nö	Elmi məhsulun növü	Alınmış	Verilmiş	Ərizəsi verilmiş
1.	Patent, patent almaq üçün ərizə	-	-	-
2.	İxtira	-	-	-
3.	Səmərələşdirici təklif	-	-	-

#### 5. Elmi tədbirlərdə məruzələr (sayı)

Nö	Tədbirin adı (seminar, dəyirmi masa, konfrans, qurultay, simpozium və s.)	Tədbirin kateqoriyası (ölkədaxili, regional, beynəlxalq)	Məruzənin növü (plenar, dəvətli, şifahi, divar)	Sayı
1.	-	-	-	-
2.	-	-	-	-
3.	-	-	-	-

**SİFARIŞÇI:**

Elmin İnkışafı Fondu

Baş məsləhətçi

Quliyeva Mülayim Sahib qızı

**İCRAÇI:**

Layihə rəhbəri

Məmmədov Hüseyn Mikayıł oğlu

(imza)

“ \_\_\_\_ ” 2020 -ci il

(imza)

“ \_\_\_\_ ” 2020 -ci il